

東京電機大学

博士論文

(論文題目)

いくつかのウィンドウの無限族に関する離散トモグラフィー

(論文題目(英文))

Discrete tomography for some infinite families of windows

平成31年3月18日

学籍番号：16UDR01

矢城 東

指導教員：裕 文夫 教授

1 はじめに

いわゆるトモグラフィーは、三次元の物体を二次元の断面の情報から再構成する手法を指すが、離散トモグラフィーとは、ウィンドウとよばれる \mathbb{Z}^n の有限部分集合 \mathbf{w} を固定したとき、 $f_{\mathbf{w}+p} = \sum_{x \in \mathbf{w}+p} f(x)$, ($p \in \mathbb{Z}^n$) の情報から関数 $f: \mathbb{Z}^n \rightarrow \mathbb{C}$ を再構成する方法を研究する分野である。

従って、 $(\Delta_{\mathbf{w}}f)(p) = \sum_{x \in \mathbf{w}+p} f(x)$ によって定義される線形写像 $\Delta_{\mathbf{w}}$ の核 ($\mathbf{A}_{\mathbf{w}}^0$ と表す) を定めることが重要な課題となる。この問題が \mathbf{w} に付随する自然な n 変数多項式の \mathbb{T}^n での零点の分布によって完全に記述されることが、俗によって証明されている.[2]

多くの文献 (例えば [5] を参照) がこの問題に関連した研究に当てられ、特に, Nivat は [6, 7] で、局所的な情報が与えられているとき、離散トモグラフィーの問題と関連付けて、行列を再構成する問題を研究をしている。

これらの問題に触発され、俗が [2, 3, 4] で一般的な定理 (後述の定理 2.1) を定式化し、ウィンドウ \mathbf{w} に付随する特定のローラン多項式の零点から、 $\mathbf{A}_{\mathbf{w}}^0$ を決定することを可能にした。

一方で、Gündüz は [1] で、任意のメロディー \mathbf{s} (= 有限な整数列) に、 \mathbb{Z}^2 の点の有限順序集合 $\mathbf{M}(\mathbf{s})$ を結びつけるアルゴリズムを提案しており、そのアルゴリズムを利用することにより、いくつかの民謡の間の類似点を考察している。

この論文では、2 種類のウィンドウの無限族に関する離散トモグラフィーについて考察する。

1 つ目は、2 以上の整数 n に対して、数列 $\mathbf{s}(n) = (0, 1, n)$ の隣接 2 項から作られる点列 $\mathbf{M}(\mathbf{s}(n)) = \{(0, 1), (1, n), (n, 0)\}$ をウィンドウとする場合であり、これについては第 3 章で述べる。2 つ目は、横幅が n の L 字型ウィンドウ $\mathbf{w}_n = \{(0, 1), (0, 0), (1, 0), (2, 0), \dots, (n-1, 0)\}$ であり、これは第 4 章で述べる。

以下、各章の概要を述べる。

第 2 章では、結果を明確に述べるために必要な概念と記号を導入し、基本定理の定式化を行う。

第 3 章では、自身が [8] で得た結果を一般の n の場合に拡張する。特に、 $n \equiv 0, 1 \pmod{3}$ の場合に、条件” $n^2 - n + 1 = p$ (p :素数)”を付け加えることで、1 の累乗根で与えられる特性多項式の解から作られるアレイが、すべて零和アレイの条件を

満たしていることを完全に証明する. さらに, 有理化された零和アレイの x 軸上に見える元の 1 周期から作られる巡回行列を行基本変形することで得られる, $0, \pm 1$ のみで表された行列の行の並びからアレイを再構成するとき, どの行からアレイを再構成しても, すべてのアレイが零和アレイになることを証明する.

第 4 章では, L 字型ウィンドウ \mathbf{w}_n に付随する $\mathbf{A}_{\mathbf{w}_n}^0$ の構造を, $n \equiv 0 \pmod{2}$ と $n \equiv 1 \pmod{2}$ の場合に分けて考察する. さらに, 論文 [9] で私が主に貢献した, 行列 M を行基本変形する為の補題と, $n \equiv 1 \pmod{2}$ のときの $\mathbf{A}_{\mathbf{w}_n}^0$ の部分空間のさらなる場合分けの方法と結果を述べる.

2 準備

\mathbb{Z}^2 上の複素関数の集合を $\mathbf{A} = (\mathbf{C})^{\mathbb{Z}^2}$ とする. その元の値を $\mathbf{a} = (\mathbf{a}_i)$ と表し, このとき, $\mathbf{i} = (i_1, i_2) \in \mathbb{Z}^2$ であり, $\mathbf{a}_i \in \mathbf{C}$ となる. この \mathbf{A} の元のことをアレイ (array) という. また, このアレイの集合 \mathbf{A} には, 複素ベクトル空間の自然な構造が与えられる.

任意のアレイ $\mathbf{a} = (\mathbf{a}_i)$ に対して, $\text{supp } \mathbf{a} = \{\mathbf{i} \in \mathbb{Z}^2; \mathbf{a}_i \neq 0\} \subset \mathbb{Z}^2$ を \mathbf{a} のサポートとよぶ. そして, 有限なサポートを持つアレイのことをウィンドウ (window) といい, このウィンドウの集合を \mathbf{W} と表す. 任意のウィンドウ $\mathbf{w} = (\mathbf{w}_i)$ と任意のアレイ $\mathbf{a} = (\mathbf{a}_i)$ に対し, ウィンドウで覗いたアレイの値の和を $d_{\mathbf{w}}(\mathbf{a}) = \sum_{\mathbf{i} \in \mathbb{Z}^2} \mathbf{w}_i \mathbf{a}_i$ と定義する. また, 任意の $\mathbf{p} \in \mathbb{Z}^2$ に対し, ウィンドウの平行移動 $\mathbf{w} + \mathbf{p}$ を, $(\mathbf{w} + \mathbf{p})_i = \mathbf{w}_{i-\mathbf{p}}, \mathbf{i} \in \mathbb{Z}^2$ で定義する.

この論文のメインとなる対象は,

$$\mathbf{A}_{\mathbf{w}}^0 = \{\mathbf{a} \text{ は有界かつ任意の } \mathbf{p} \in \mathbb{Z}^2 \text{ に対して } d_{\mathbf{w}+\mathbf{p}}(\mathbf{a}) = 0\}, \quad (2.1)$$

であり, この空間 $\mathbf{A}_{\mathbf{w}}^0$ の元を \mathbf{w} に関する零和アレイと呼ぶ.

以下の様な \mathbf{w} の特性多項式 $m_{\mathbf{w}}$ は, \mathbf{w} に付随する零和アレイを得る上で重要である.

Definition 2.1 任意のウィンドウ \mathbf{w} に対し, その特性多項式 $m_{\mathbf{w}}$ を以下のように定義する:

$$m_{\mathbf{w}} = \sum_{(i,j) \in \text{supp } \mathbf{w}} \mathbf{w}_{(i,j)} x^i y^j. \quad (2.2)$$

また, $\mathbb{T} = \{z \in \mathbf{C}; |z| = 1\}$ とし, \mathbb{T}^2 の自己同型写像 $\iota: \mathbb{T}^2 \rightarrow \mathbb{T}^2$ を $\iota(z_1, z_2) = (z_1^{-1}, z_2^{-1})$ と定義する. ここで, $m_{\mathbf{w}}^* = \iota^*(m_{\mathbf{w}})$ と置くことで, $m_{\mathbf{w}}^*(z) = m_{\mathbf{w}}(\iota(z))$ となる. 任意の部分集合 $X \subset \mathbf{C}^2$ に対し, $V_X(m_{\mathbf{w}}) = \{z \in X; m_{\mathbf{w}}(z) = 0\}$ と表す. 離散トモグラフィーに関する基本的な以下の2つの定理が, 本論文でも重要な役割を果たす:

Theorem 2.1 [1, Theorem 3.1] $V_{\mathbb{T}^2}(m_{\mathbf{w}}^*)$ を有限部分集合とする. このとき, 以下の式を得る:

$$\dim_{\mathbb{C}} \mathbf{A}_{\mathbf{w}}^0 = \#(V_{\mathbb{T}^2}(m_{\mathbf{w}}^*)). \quad (2.3)$$

さらに, $V_{\mathbb{T}^2}(m_{\mathbf{w}}^*)$ が無限のとき, 空間 $\mathbf{A}_{\mathbf{w}}^0$ も無限次元となる.

また, 以下の様に, 零和アレイと $V_{\mathbb{T}^2}(m_{\mathbf{w}})$ の元を関連付けることができる.

Theorem 2.2 [2, 3] $(x_0, y_0) \in V_{\mathbb{T}^2}(m_{\mathbf{w}})$ とし, $\mathbf{a}(x_0, y_0)$ を以下の様なアレイとして定義する:

$$\mathbf{a}(x_0, y_0) = (\mathbf{a}_{(i,j)})_{(i,j) \in \mathbb{Z}^2}, \mathbf{a}_{(i,j)} = (x_0^i y_0^j)^{-1}. \quad (2.4)$$

このとき, $\mathbf{a}(x_0, y_0) \in \mathbf{A}_{\mathbf{w}}^0$ である.

さらに, 第3章は論文 [1] にヒントを得て, 次の定義に関連した離散トモグラフィーを考察する.

Definition 2.2 与えられた整数列 $\mathbf{s}(n) = (s_0, s_1, \dots, s_n)$ に関連付けて, 点列 $\mathbf{M}(\mathbf{s}(n))$ を以下の様に定義する:

$$\mathbf{s}(n) = (s_0, s_1, s_2, \dots, s_n) \mapsto \mathbf{M}(\mathbf{s}(n)) = ((s_0, s_1), (s_1, s_2), \dots, (s_{n-1}, s_n), (s_n, s_0)) \quad (2.5)$$

3 整数列 $(0, 1, n)$ の離散トモグラフィ

この章では, 数列 $\mathbf{s}(n) = (0, 1, n)$ の隣接 2 項から点列を作り, その点列をウィンドウ $\mathbf{w}(n)$ とした場合の零和アレ $\mathbf{A}_{\mathbf{w}(n)}^0$ を求める. 特に, $n \equiv 0, 1 \pmod{3}$ と $n \equiv 2 \pmod{3}$ の場合では, 解を得るために異なるアプローチを行う必要があり, それぞれの場合について考察する.

数列 $\mathbf{s}(n)$ を $\mathbf{s}(n) = (0, 1, n)$ とおき, $\mathbf{w}(n)$ を部分集合

$$\mathbf{M}(\mathbf{s}(n)) = \{(0, 1), (1, n), (n, 0)\} \subset \mathbb{Z}^2 \quad (3.1)$$

の特性関数とする. このウィンドウ $\mathbf{w}(n)$ について, その零和アレを考察する. 特性多項式 $m_{\mathbf{w}(n)}$ は次のようになる:

$$m_{\mathbf{w}(n)} = y + xy^n + x^n. \quad (3.2)$$

よって, $m_{\mathbf{w}(n)}^*$ は,

$$m_{\mathbf{w}(n)}^* = \frac{1}{y} + \frac{1}{xy^n} + \frac{1}{x^n}, \quad (3.3)$$

となる. ここで, $(x, y) \in \mathbb{T}^2$ に対して, $m_{\mathbf{w}(n)}(x, y) = 0$ とおくと, $\overline{m_{\mathbf{w}(n)}(x, y)} = 0$ となることから, $m_{\mathbf{w}(n)}^*(x, y) = 0$ を得ることができる. このことから, 次の連立方程式を得る.

$$m_{\mathbf{w}(n)} = 0, \quad (3.4)$$

$$m_{\mathbf{w}(n)}^* = 0. \quad (3.5)$$

(3.4) から $xy^{n+1}m_{\mathbf{w}(n)}^* = 0$ を引くと,

$$x^n - \frac{y^{n+1}}{x^{n-1}} = 0,$$

となり, これを整理すると次の式を得る:

$$x^{2n-1} = y^{n+1}. \quad (3.6)$$

ここで, x, y の指数である $2n-1, n+1$ の最大公約数は以下の様に計算ができる:

$$\begin{aligned} \text{GCD}(2n-1, n+1) &= \text{GCD}((2n-1) - (n+1), n+1) \\ &= \text{GCD}(n-2, n+1) \\ &= \text{GCD}((n+1) - (n-2), n+1) \\ &= \text{GCD}(3, n+1). \end{aligned}$$

よって, 特性多項式の解に関して以下の場合分けができる:

$$\begin{cases} \text{GCD}(2n-1, n+1) = 1 & n \equiv 0, 1 \pmod{3} \text{ のとき,} \\ \text{GCD}(2n-1, n+1) = 3 & n \equiv 2 \pmod{3} \text{ のとき.} \end{cases} \quad (3.7)$$

そこで, $n \equiv 0, 1 \pmod{3}$ と $n \equiv 2 \pmod{3}$ の場合分けを行って, 議論を進める.

3.1 $n \equiv 0, 1 \pmod{3}$ かつ $N = p$ (p : 素数) の場合

この節では, $n \equiv 0, 1 \pmod{3}$ かつ $N = n^2 - n + 1$ が素数の場合について考える. この場合, (3.7) より $\text{GCD}(2n-1, n+1) = 1$ であるから, (3.6) より, x, y はパラメータ t を用いて, 以下の様に表せる:

$$x = t^{n+1}, y = t^{2n-1}. \quad (3.8)$$

この x, y を $m_{\mathbf{w}(n)} = 0$ に代入すると, (3.2) より

$$t^{2n-1} + t^{n+1} (t^{2n-1})^n + (t^{n+1})^n = 0,$$

となり, これを整理すれば次の式を得る:

$$t^{2n-1} + t^{2n^2+1} + t^{n^2+n} = 0. \quad (3.9)$$

さらに, この (3.9) の両辺に $(t^{2n-1})^{-1}$ を掛けることにより,

$$t^{2(n^2-n+1)} + t^{n^2-n+1} + 1 = 0, \quad (3.10)$$

となる. 従って, 以下の式を得る:

$$t^{2N} + t^N + 1 = 0.$$

この解は, $t^N = \omega$ もしくは, $t^N = \omega^2$ であることから, t の値は以下の様に表すことができる:

$$t = \zeta_{3N}^k \quad (1 \leq k \leq 3N-1, 3 \nmid k). \quad (3.11)$$

ここで, 1 の原始 m 乗根を ζ_m と表し, $\omega = \zeta_3$ とする.

以上より, 次の命題を得ることができた.

Proposition 3.1 $n \equiv 0, 1 \pmod{3}$ のとき, 特性多項式 $m_{\mathbf{w}(n)}$ の \mathbb{T}^2 における零点は次の様になる:

$$V_{\mathbb{T}^2}(m_{\mathbf{w}(n)}) = \{(\zeta_{3N}^{k(n+1)}, \zeta_{3N}^{k(2n-1)}); 1 \leq k \leq 3N-1, 3 \nmid k\}. \quad (3.12)$$

特に,

$$\#(V_{\mathbb{T}^2}(m_{\mathbf{w}(n)})) = 2N \quad (3.13)$$

である.

この解を用いて零和アレイを作る為に, 準備を行う. 解の条件に注目すると, $k = N, 2N$ のとき, 解は

$$\begin{cases} k = N \text{ のとき} & (x_0, y_0) = (\zeta_3^{n+1}, \zeta_3^{2n-1}), \\ k = 2N \text{ のとき} & (x_0, y_0) = (\zeta_3^{2(n+1)}, \zeta_3^{2(2n-1)}). \end{cases} \quad (3.14)$$

となる. よって, 条件である $n \equiv 0, 1 \pmod{3}$ それぞれに対応する $k = N, 2N$ のときの解は次の様に定まる:

$$k = N \text{ のとき} \begin{cases} (x_0, y_0) = (\zeta_3^1, \zeta_3^2) & n \equiv 0 \pmod{3}, \\ (x_0, y_0) = (\zeta_3^2, \zeta_3^1) & n \equiv 1 \pmod{3}. \end{cases} \quad (3.15)$$

$$k = 2N \text{ のとき} \begin{cases} (x_0, y_0) = (\zeta_3^2, \zeta_3^1) & n \equiv 0 \pmod{3}, \\ (x_0, y_0) = (\zeta_3^1, \zeta_3^2) & n \equiv 1 \pmod{3}. \end{cases} \quad (3.16)$$

ここで, $\mathbf{A}_{\mathbf{w}(n)}^0$ の部分空間 V_1, V_2 を次の様に定義する:

$$\begin{cases} V_1 = \langle \mathbf{a}(\zeta_{3N}^{k(n+1)}, \zeta_{3N}^{k(2n-1)}); k = N, 2N \rangle_{\mathbb{C}}, \\ V_2 = \langle \mathbf{a}(\zeta_{3N}^{k(n+1)}, \zeta_{3N}^{k(2n-1)}); 1 \leq k \leq 3N-1, \text{GCD}(k, 3N) = 1 \rangle_{\mathbb{C}}. \end{cases}$$

これを書き直すと, 次の様になる:

$$\begin{cases} V_1 = \langle \mathbf{a}(\omega, \omega^2), \mathbf{a}(\omega^2, \omega) \rangle_{\mathbb{C}}, \\ V_2 = \langle \mathbf{a}(\zeta_{3N}^{k(n+1)}, \zeta_{3N}^{k(2n-1)}); 1 \leq k \leq 3N-1, \text{GCD}(k, 3N) = 1 \rangle_{\mathbb{C}}. \end{cases} \quad (3.17)$$

このとき, 定理 2.1 より, 特性多項式の解の個数と, 複素線形部分空間 V_1, V_2 の次元は一致するので,

$$\dim_{\mathbb{C}} V_1 = 2, \quad (3.18)$$

$$\dim_{\mathbb{C}} V_2 = 2(N-1). \quad (3.19)$$

となる.

ここでアレイの例として, $\mathbf{a}(\omega, \omega^2) \in V_1$ を挙げると, 次の様になる.

$$\begin{array}{cccccccc}
 \omega & 1 & \omega^2 & \omega & 1 & \omega^2 & \omega & 1 \\
 1 & \omega^2 & \omega & 1 & \omega^2 & \omega & 1 & \omega^2 \\
 \omega^2 & \omega & 1 & \omega^2 & \omega & 1 & \omega^2 & \omega \\
 \omega & 1 & \omega^2 & \omega & 1 & \omega^2 & \omega & 1 \\
 1 & \omega^2 & \omega & 1 & \omega^2 & \omega & 1 & \omega^2 \\
 \omega^2 & \omega & 1 & \omega^2 & \omega & 1 & \omega^2 & \omega \\
 \omega & 1 & \omega^2 & \omega & 1 & \omega^2 & \omega & 1 \\
 1 & \omega^2 & \omega & 1 & \omega^2 & \omega & 1 & \omega^2
 \end{array}$$

Fig 1: $\mathbf{a}(\omega, \omega^2)$

このアレイの座標 (i, j) での値は, (2.4) より $\mathbf{a}_{(i,j)} = (\omega^i \cdot \omega^{2j})^{-1} = (\omega^{i+2j})^{-1}$ で求められる. よって, $\mathbf{w}(n) = \{(0, 1), (1, n), (n, 0)\}$ で覗くとき, 覗いた部分の和を求めると,

$$(\omega^{0+2})^{-1} + (\omega^{1+2n})^{-1} + (\omega^{n+0})^{-1} = (\omega^2)^{-1} + (\omega^{2n+1})^{-1} + (\omega^n)^{-1} \quad (3.20)$$

となり, n の条件より場合分けを行うと, 次の様に値が定まる:

$$n \equiv 0 \pmod{3} \text{ のとき } \omega + \omega^2 + 1 = 0, \quad (3.21)$$

$$n \equiv 1 \pmod{3} \text{ のとき } \omega + 1 + \omega^2 = 0. \quad (3.22)$$

また, $\mathbf{a}(\omega^2, \omega)$ についても同様の計算ができるので, V_1 に属する全てのアレイが $\mathbf{A}_{\mathbf{w}(n)}^0$ に属することが確かめられた.

次に, V_2 に属するアレイについて, V_1 と同様の事を考えると, アレイの値は

$$\mathbf{a}_{(i,j)} = (\zeta_{3N}^{k\{(n+1)i+(2n-1)j\}})^{-1} \quad (3.23)$$

である.

従って,

$$\begin{aligned} -k(2n^2 + 1) + k(2n - 1) &= -k(2n^2 - 2n + 2) \\ &= -2Nk, \end{aligned}$$

$$\begin{aligned} -k(n^2 + n) + k(2n - 1) &= -k(n^2 - n + 1) \\ &= -Nk, \end{aligned}$$

であることに注意すれば, ウィンドウで覗いた部分の和は次の様になる:

$$\begin{aligned} (\zeta_{3N}^{k(2n-1)})^{-1} + (\zeta_{3N}^{k(2n^2+1)})^{-1} + (\zeta_{3N}^{k(n^2+n)})^{-1} &= \zeta_{3N}^{-k(2n-1)}(1 + \zeta_{3N}^{-2Nk} + \zeta_{3N}^{-Nk}) \\ &= \zeta_{3N}^{-k(2n-1)}(1 + \omega^{-2k} + \omega^{-k}) \\ &= 0. \end{aligned} \quad (3.24)$$

よって, V_2 に属する全てのアレイが $\mathbf{A}_{\mathbf{w}(n)}^0$ に属することが確かめられた.

次に, この V_1, V_2 に属するアレイの値は 1 の累乗根で表されているので, 有理化をする方法として, 次の S_1, S_2 を定義する:

$$\begin{cases} S_1 = \mathbf{a}(\omega, \omega^2) + \mathbf{a}(\omega^2, \omega) \in V_1, \\ S_2 = \sum_{\substack{k=1 \\ 3|k, N|k}}^{3N-1} \mathbf{a}(\zeta_{3N}^{k(n+1)}, \zeta_{3N}^{k(2n-1)}) \in V_2. \end{cases} \quad (3.25)$$

このとき, S_1, S_2 は $Gal(\mathbb{Q}(\zeta_{3N}/\mathbb{Q}))$ の作用で不変だから, アレイの値はすべて有理数である.

具体的に, S_2 の x 軸上での値を得る為に, S_2 を構成するアレイ $\mathbf{a}(\zeta_{3N}^{k(n+1)}, \zeta_{3N}^{k(2n-1)})$ を \mathbf{a}^k とおく. すると定義によって

$$\mathbf{a}_{(i,0)}^k = \zeta_{3N}^{-k(n+1)i} \quad (3.26)$$

である. ここで $3N$ を法として i の場合分けを考えると, アレイの値は次の様になる:

$$\mathbf{a}_{(i,0)}^k = \begin{cases} (\zeta_{3N}^0)^k = 1^k = 1, & i \equiv 0 \pmod{3N}, \\ (\zeta_N^{-(n+1)f})^k, & i \equiv 3f \pmod{3N} (1 \leq f \leq N-1), \\ (\zeta_3^{-(n+1)g})^k, & i \equiv Ng \pmod{3N} (g = 1, 2), \\ (\zeta_{3N}^{-(n+1)h})^k, & i \equiv h \pmod{3N} (3 \nmid h, N \nmid h). \end{cases} \quad (3.27)$$

ここで, f, g, h はそれぞれ $GCD(f, N) = 1$, $GCD(g, 3) = 1$, $GCD(h, 3N) = 1$ であり, さらに

$$\begin{aligned} GCD(n+1, N) &= GCD(n+1, n^2 - n + 1) \\ &= GCD(n+1, n^2 - n + 1 - (n-2)(n+1)) \\ &= GCD(n+1, 3) \\ &= 1, \end{aligned}$$

であることから, $\zeta_N^{-(n+1)f}$, $\zeta_3^{-(n+1)g}$, $\zeta_{3N}^{-(n+1)h}$ はそれぞれ 1 の原始 N 乗根, 3 乗根, $3N$ 乗根であることに注意して, 和 S_2 を計算し, 次の命題を得る:

Proposition 3.2

$$(S_2)_{(i,0)} = \sum_{\substack{k=1 \\ 3|k, N \nmid k}}^{3N-1} \mathbf{a}_{(i,0)}^k = \begin{cases} 2(N-1), & i \equiv 0 \pmod{3N}, \\ -2, & i \equiv 3f \pmod{3N} (1 \leq f \leq N-1), \\ -(N-1), & i \equiv Ng \pmod{3N} (g = 1, 2), \\ 1, & i \equiv h \pmod{3N} (3 \nmid h, N \nmid h). \end{cases} \quad (3.28)$$

Proof: まず, $i \equiv 0 \pmod{3N}$ のときは,

$$(S_2)_{(i,0)} = \sum_{\substack{k=1 \\ 3|k, N \nmid k}}^{3N-1} 1 = 2(N-1), \quad (3.29)$$

である.

次に, $i \equiv 3f \pmod{3N} (1 \leq f \leq N-1)$ のときの S_2 の値を求める. 式 $\sum_{k=0}^{3N-1} \zeta_N^k$ は

$$\sum_{k=0}^{3N-1} \zeta_N^k = \sum_{k=0}^{N-1} \zeta_N^k + \zeta_N^N \sum_{k=0}^{N-1} \zeta_N^k + \zeta_N^{2N} \sum_{k=0}^{N-1} \zeta_N^k, \quad (3.30)$$

と表すことができ, 一般に $\sum_{l=0}^{p-1} \zeta_p^l = 0$ (p : 素数) となることから, $\sum_{k=0}^{3N-1} \zeta_N^k = 0$ であり, 次の式が得られる:

$$\sum_{k=1}^{3N-1} \zeta_N^k = -1. \quad (3.31)$$

また, $GCD(3, N) = 1$ より,

$$\begin{aligned} \zeta_N^0 + \zeta_N^3 + \zeta_N^6 + \cdots + \zeta_N^{3(N-1)} &= 0, \\ \zeta_N^3 + \zeta_N^6 + \cdots + \zeta_N^{3(N-1)} &= -1, \end{aligned} \quad (3.32)$$

である. ここで, 任意の整数 m に対して $\zeta_p^{mp} = 1$ となることから,

$$\zeta_N^N + \zeta_N^{2N} = 2. \quad (3.33)$$

であり, 以上のことから, $\sum_{k=0}^{3N-1} \zeta_N^k$ は

$$\begin{aligned} \sum_{k=0}^{3N-1} \zeta_N^k &= \zeta_N^0 + \sum_{\substack{k=1 \\ 3|k, N \nmid k}}^{3N-1} \zeta_N^k + (\zeta_N^3 + \zeta_N^6 + \cdots + \zeta_N^{3(N-1)}) + (\zeta_N^N + \zeta_N^{2N}) \\ &= 1 + \sum_{\substack{k=1 \\ 3|k, N \nmid k}}^{3N-1} \zeta_N^k - 1 + 2 \\ &= 0, \end{aligned}$$

と分解できることから,

$$(S_2)_{(i,0)} = \sum_{\substack{k=1 \\ 3|k, N \nmid k}}^{3N-1} \zeta_N^k = -2, \quad (3.34)$$

と定まる.

次に, $i \equiv Ng \pmod{3N} (g = 1, 2)$ のときの値を求める. まず, (3.31) と同様に, $\sum_{k=0}^{3N-1} \zeta_3^k = 0$ となるので,

$$\sum_{k=1}^{3N-1} \zeta_3^k = -1, \quad (3.35)$$

を得る. そして, 任意の整数 m に対して $\zeta_p^{mp} = 1$ となることから,

$$\zeta_3^3 + \zeta_3^6 + \cdots + \zeta_3^{3(N-1)} = N - 1, \quad (3.36)$$

となり, $GCD(3, N) = 1$ より, 次の式を得ることができる:

$$\zeta_3^N + \zeta_3^{2N} = -1. \quad (3.37)$$

以上より, $\sum_{\substack{k=1 \\ 3|k, N \nmid k}}^{3N-1} \zeta_3^k$ は,

$$\begin{aligned} \sum_{k=0}^{3N-1} \zeta_3^k &= \zeta_3^0 + \sum_{\substack{k=1 \\ 3|k, N \nmid k}}^{3N-1} \zeta_3^k + (\zeta_3^3 + \zeta_3^6 + \cdots + \zeta_3^{3(N-1)}) + (\zeta_3^N + \zeta_3^{2N}) \\ &= 1 + \sum_{\substack{k=1 \\ 3|k, N \nmid k}}^{3N-1} \zeta_3^k + (N - 1) - 1 \\ &= 0, \end{aligned}$$

より, 以下の様に定まる:

$$(S_2)_{(i,0)} = \sum_{\substack{k=1 \\ 3|k, N \nmid k}}^{3N-1} \zeta_3^k = -(N-1). \quad (3.38)$$

そして, $i \equiv h \pmod{3N}$ ($3 \nmid h, N \nmid h$) のときの値について, $\sum_{k=0}^{3N-1} \zeta_{3N}^k = 0$ より,

$$\sum_{k=1}^{3N-1} \zeta_{3N}^k = -1, \quad (3.39)$$

であり,

$$\zeta_{3N}^3 + \zeta_{3N}^6 + \cdots + \zeta_{3N}^{3(N-1)} = -1, \quad (3.40)$$

$$\zeta_{3N}^N + \zeta_{3N}^{2N} = -1, \quad (3.41)$$

となることから, $\sum_{\substack{k=1 \\ 3|k, N \nmid k}}^{3N-1} \zeta_{3N}^k$ の値は,

$$\begin{aligned} \sum_{\substack{k=1 \\ 3|k, N \nmid k}}^{3N-1} \zeta_{3N}^k &= \sum_{k=1}^{3N-1} \zeta_{3N}^k - (\zeta_{3N}^3 + \zeta_{3N}^6 + \cdots + \zeta_{3N}^{3(N-1)}) - (\zeta_{3N}^N + \zeta_{3N}^{2N}) \\ &= -1 - (-1) - (-1) \\ &= 1. \end{aligned} \quad (3.42)$$

と計算ができるので,

$$(S_2)_{(i,0)} = \sum_{\substack{k=1 \\ 3|k, N \nmid k}}^{3N-1} \zeta_{3N}^k = 1, \quad (3.43)$$

を得る. これで命題 3.2 の証明が完成した.□

この命題より, S_2 の x 軸上の値 $(S_2)_{(i,0)}$ は, 周期 $3N$ を持ち, $i = 0$ のときからの並びを v^0 とすると

$$\begin{aligned} v^0 &= (2(N-1), 1, 1, -2, 1, 1, -2, \dots, -2, -(N-1), 1, \dots, \\ &\quad \dots, 1, -(N-1), -2, \dots, -2, 1, 1). \end{aligned} \quad (3.44)$$

と表せる. この v^0 を右に 1 つずつ巡回させたベクトルを $v^k = (v_{i-k}^0)_{i=0, \dots, 3N-1}$ ($1 \leq k \leq 3N-1$, 添字 $i-k$ は $\text{mod } 3N$ で考える) と定義し, v^k を第 $(k+1)$ 行に

もつ, $3N \times 3N$ 行列を M とする. 以下 M のランクを求める. この v^0 の要素の並びを

$$v^0 = (a_0, a_1, a_2, \dots, a_{3N-1}), \quad (3.45)$$

とおくとき, 行列 M は以下の様な巡回行列となり,

$$M = \begin{pmatrix} a_0 & a_1 & a_2 & \cdots & a_{3N-2} & a_{3N-1} \\ a_{3N-1} & a_0 & a_1 & \cdots & a_{3N-3} & a_{3N-2} \\ a_{3N-2} & a_{3N-1} & a_0 & \cdots & a_{3N-4} & a_{3N-3} \\ \vdots & \vdots & \vdots & \ddots & \vdots & \vdots \\ a_2 & a_3 & a_4 & \cdots & a_0 & a_1 \\ a_1 & a_2 & a_3 & \cdots & a_{3N-1} & a_0 \end{pmatrix} \quad (3.46)$$

次の命題を得る:

Proposition 3.3 $\chi^j(i) = \zeta_{3N}^{ij}$ ($0 \leq i, j \leq 3N-1$) とおくとき, $X^j = \sum_{i=0}^{3N-1} a_i \chi^j(i)$ の値は, j ($0 \leq j \leq 3N-1$) の値の場合分けを考えることにより, 以下の様に得られる:

$$X^j = \begin{cases} 0 & j = 0, \\ 0 & j = 3f' \ (1 \leq f' \leq N-1), \\ 0 & j = Ng' \ (g' = 1, 2), \\ 3N & j = h' \ (1 \leq h' \leq 3N-1, \ 3 \nmid h', \ N \nmid h'). \end{cases} \quad (3.47)$$

特に, $\#\{X^j \neq 0, 0 \leq j \leq 3N-1\} = 2(N-1)$ であり, 行列 M のランクは,

$$\text{rank } M = 2(N-1) \quad (3.48)$$

となる.

Proof: $\chi^j(i)$ と v^0 の並びを用いて, 次の式を定義する:

$$X^j = \sum_{i=0}^{3N-1} a_i \chi^j(i). \quad (3.49)$$

すると, 巡回行列の性質により, この行列 M のランクは以下の様に定まる:

$$\text{rank } M = \#\{X^j \neq 0, 0 \leq j \leq 3N-1\}. \quad (3.50)$$

以下, X^j の値を個別に計算する. まず, $a_i (0 \leq i \leq 3N - 1)$ の値は, (3.44) の S_2 の x 軸上の値より, 以下の様に定まる:

$$a_i = \begin{cases} 2(N-1), & i = 0, \\ -2, & i = 3f \ (1 \leq f \leq N-1), \\ -(N-1), & i = Ng \ (g = 1, 2), \\ 1, & i = h \ (1 \leq h \leq 3N-1, 3 \nmid h, N \nmid h). \end{cases} \quad (3.51)$$

次に, j に注目して場合分けを考える.

まず, $j = 0$ の場合について, $\chi^0(i) = \zeta_{3N}^{i \cdot 0} = 1$ と (3.51) を用いて X^0 の値を求め. $i = 0$ のとき, $a_0 \chi^0(0) = 2(N-1) \cdot 1 = 2(N-1)$. また, $i = 3f$ ($1 \leq f \leq N-1$) のとき, $a_{3f} \chi^0(3f) = (-2) \cdot 1 = -2$. 次に, $i = Ng$ ($g = 1, 2$) のとき, $a_{Ng} \chi^0(Ng) = -(N-1) \cdot 1 = -(N-1)$. さらに, $i = h$ ($1 \leq h \leq 3N-1, \text{GCD}(h, 3N) = 1$) のとき, $a_h \chi^0(h) = 1 \cdot 1 = 1$ となる. 以上のことをまとめると,

$$a_i \chi^0(i) = \begin{cases} 2(N-1), & i = 0 \\ -2, & i = 3f \ (1 \leq f \leq N-1) \\ -(N-1), & i = Ng \ (g = 1, 2) \\ 1, & i = h \ (1 \leq h \leq 3N-1, 3 \nmid h, N \nmid h) \end{cases} \quad (3.52)$$

となる. ここで, X^j を整理すると,

$$X^j = a_0 \chi^j(0) + \sum_{\substack{i=3f \\ 1 \leq f \leq N-1}} a_i \chi^j(i) + \sum_{\substack{i=Ng \\ g=1,2}} a_i \chi^j(i) + \sum_{\substack{i=h \\ 3 \nmid h, N \nmid h}} a_i \chi^j(i) \quad (3.53)$$

となることから, X^0 の値は以下の様になる:

$$\begin{aligned} X^0 &= a_0 \chi^0(0) + \sum_{\substack{i=3f \\ 1 \leq f \leq N-1}} a_i \chi^0(i) + \sum_{\substack{i=Ng \\ g=1,2}} a_i \chi^0(i) + \sum_{\substack{i=h \\ 3 \nmid h, N \nmid h}} a_i \chi^0(i) \\ &= 2(N-1) + \sum_{\substack{i=3f \\ 1 \leq f \leq N-1}} (-2) + \sum_{\substack{i=Ng \\ g=1,2}} -(N-1) + \sum_{\substack{i=h \\ 3 \nmid h, N \nmid h}} 1 \\ &= 2(N-1) + (-2) \cdot (N-1) + \{-(N-1)\} \cdot 2 + 2(N-1) \\ &= 0. \end{aligned} \quad (3.54)$$

次に $j = 3f'$ ($1 \leq f' \leq N-1$) のときの $X^{3f'}$ の値を求める. まず, $\chi^{3f'}(i) = \zeta_{3N}^{i \cdot 3f'}$ となるので, i の場合分けを考えると, $i = 0$ のとき, $a_0 \chi^{3f'}(0) = 2(N-1) \cdot \zeta_N^{f' \cdot 0} = 2(N-1)$. さらに, $i = 3f$ ($1 \leq f \leq N-1$) のとき, $a_{3f} \chi^{3f'}(3f) = -2 \cdot \zeta_N^{f' \cdot 3f} = -2\zeta_N^{3ff'}$. 次に, $i = Ng$ ($g = 1, 2$) のとき, $a_{Ng} \chi^{3f'}(Ng) = -(N-1) \cdot \zeta_N^{Ng \cdot f'} = -(N-1)$. また, $i = h$ ($1 \leq h \leq 3N-1$, $3 \nmid h, N \nmid h$) のとき, $a_h \chi^{3f'}(h) = 1 \cdot \zeta_N^{h \cdot f'} = \zeta_3^{hf'}$ となる. 以上のことをまとめると,

$$a_i \chi^{3f'}(i) = \begin{cases} 2(N-1), & i = 0 \\ -2\zeta_N^{3ff'}, & i = 3f \ (1 \leq f \leq N-1) \\ -(N-1), & i = Ng \ (g = 1, 2) \\ \zeta_N^{hf'}, & i = h \ (1 \leq h \leq 3N-1, 3 \nmid h, N \nmid h) \end{cases} \quad (3.55)$$

となる. よって, $X^{3f'}$ の値は,

$$X^{3f'} = a_0 \chi^{3f'}(0) + \sum_{\substack{i=3f \\ 1 \leq f \leq N-1}} a_i \chi^{3f'}(i) + \sum_{\substack{i=Ng \\ g=1,2}} a_i \chi^{3f'}(i) + \sum_{\substack{i=h \\ 3 \nmid h, N \nmid h}} a_i \chi^{3f'}(i)$$

を計算することにより, 求まる. ここで, $GCD(N, 3f) = 1, GCD(N, f') = 1$ より, $\sum_{\substack{i=3f \\ 1 \leq f \leq N-1}} \zeta_N^{i \cdot f'} = -1$ となる. また, $\sum_{\substack{i=h \\ 3 \nmid h, N \nmid h}} \zeta_N^{i \cdot f'} = -2$ となる. 以上のことから, $X^{3f'}$ の値は次の様に求まる:

$$\begin{aligned} X^{3f'} &= 2(N-1) - 2 \sum_{\substack{i=3f \\ 1 \leq f \leq N-1}} \zeta_N^{3ff'} - (N-1) \cdot 2 + \sum_{\substack{i=h \\ 3 \nmid h, N \nmid h}} \zeta_N^{i \cdot f'} \\ &= 2(N-1) + 2 - 2(N-1) - 2 \\ &= 0. \end{aligned} \quad (3.56)$$

$j = Ng'$ ($g' = 1, 2$) のときの $X^{Ng'}$ の値を求める. まず, $\chi^{Ng'}(i) = \zeta_{3N}^{i \cdot Ng'}$ $= \zeta_3^{g' \cdot i}$ となるのをを用いて, i の場合分けを考える. $i = 0$ のとき, $a_0 \chi^{Ng'}(0) = 2(N-1) \cdot \zeta_3^{i \cdot g'} = 2(N-1)$ となる. 次に, $i = 3f$ ($1 \leq f \leq N-1$) のとき, $a_{3f} \chi^{Ng'}(3f) = -2 \cdot \zeta_3^{3f \cdot g'} = -2$. また, $i = Ng$ ($g = 1, 2$) のとき, $a_{Ng} \chi^{Ng'}(Ng) = -(N-1) \cdot \zeta_3^{Ng \cdot g'} = -(N-1) \zeta_3^{Ngg'}$. さらに, $i = h$ ($1 \leq h \leq 3N-1$, $3 \nmid h, N \nmid h$) のとき, $a_h \chi^{Ng'}(h) = 1 \cdot \zeta_3^{h \cdot g'} = \zeta_3^{hg'}$ となる.

以上のことをまとめると,

$$a_i \chi^{Ng'}(i) = \begin{cases} 2(N-1), & i=0 \\ -2, & i=3f \ (1 \leq f \leq N-1) \\ -(N-1)\zeta_3^{Ngg'}, & i=Ng \ (g=1,2) \\ \zeta_3^{hg'}, & i=h \ (1 \leq h \leq 3N-1, 3 \nmid h, N \nmid h) \end{cases} \quad (3.57)$$

となるので, $X^{Ng'}$ の値は,

$$X^{Ng'} = a_0 \chi^{3g'}(0) + \sum_{\substack{i=3f \\ 1 \leq f \leq N-1}} a_i \chi^{Ng'}(i) + \sum_{\substack{i=Ng \\ g=1,2}} a_i \chi^{Ng'}(i) + \sum_{\substack{i=h \\ 3 \nmid h, N \nmid h}} a_i \chi^{Ng'}(i)$$

を計算することで得られる. ここで, $GCD(3, Ng) = 1, GCD(3, g') = 1$ より, $\sum_{\substack{i=Ng \\ g=1,2}} \zeta_3^{i \cdot g'} = -1$ となる. また, $\sum_{\substack{i=h \\ 3 \nmid h, N \nmid h}} \zeta_N^{i \cdot g'} = -(N-1)$ となる. 以上のことから, $X^{Ng'}$ の値は以下の様に定まる:

$$\begin{aligned} X^{Ng'} &= 2(N-1) - 2 \cdot (N-1) - (N-1) \sum_{\substack{i=Ng \\ g=1,2}} \zeta_3^{i \cdot g'} + \sum_{\substack{i=h \\ 3 \nmid h, N \nmid h}} \zeta_N^{i \cdot g'} \\ &= 2(N-1) + 2(N-1) + (N-1) - (N-1) \\ &= 0. \end{aligned} \quad (3.58)$$

$j = h' \ (1 \leq h' \leq 3N-1, 3 \nmid h', N \nmid h')$ のときの, $X^{h'}$ の値を求める. このとき, $\chi^{h'}(i) = \zeta_{3N}^{i \cdot h'}$ となることを用いて, 計算を進めていく. まず, $i=0$ のとき, $a_0 \chi^{h'}(0) = 2(N-1) \cdot \zeta_{3N}^{0 \cdot h'} = 2(N-1)$ となる. また, $i=3f \ (1 \leq f \leq N-1)$ のとき, $a_{3f} \chi^{h'}(3f) = -2 \cdot \zeta_{3N}^{3f \cdot h'} = -2\zeta_N^{fh'}$. 次に, $i=Ng \ (g=1,2)$ のとき, $a_{Ng} \chi^{h'}(Ng) = -(N-1) \cdot \zeta_{3N}^{Ng \cdot h'} = -(N-1)\zeta_3^{gh'}$. 最後に, $i=h \ (1 \leq h \leq 3N-1, 3 \nmid h, N \nmid h)$ のとき, $a_h \chi^{h'}(h) = 1 \cdot \zeta_{3N}^{h \cdot h'} = \zeta_{3N}^{hh'}$ となる. これをまとめると,

$$a_i \chi^{h'}(i) = \begin{cases} 2(N-1), & i=0 \\ -2\zeta_N^{fh'}, & i=3f \ (1 \leq f \leq N-1) \\ -(N-1)\zeta_3^{gh'}, & i=Ng \ (g=1,2) \\ \zeta_{3N}^{hh'}, & i=h \ (1 \leq h \leq 3N-1, 3 \nmid h, N \nmid h) \end{cases} \quad (3.59)$$

となる. よって, $X^{h'}$ の値は,

$$X^{h'} = a_0 \chi^{h'}(0) + \sum_{\substack{i=3f \\ 1 \leq f \leq N-1}} a_i \chi^{h'}(i) + \sum_{\substack{i=Ng \\ g=1,2}} a_i \chi^{h'}(i) + \sum_{\substack{i=h \\ 3 \nmid h, N \nmid h}} a_i \chi^{h'}(i)$$

を計算することにより, 求まる. ここで, $GCD(N, f) = 1, GCD(N, h') = 1$ より,
 $\sum_{1 \leq f \leq N-1} \zeta_{3N}^{i \cdot h'} = -1$ と得られる. また, $GCD(3, g) = 1, GCD(3, h') = 1$ より,
 $\sum_{g=1,2} \zeta_{3N}^{i \cdot h'} = -1$ となる. さらに, $GCD(3N, h) = 1, GCD(3N, h') = 1$ より,
 $\sum_{3|h, N|h} \zeta_{3N}^{i \cdot h'} = 1$ となる. 以上のことから, $X^{h'}$ の値は次の様に求まる:

$$\begin{aligned}
X^{h'} &= 2(N-1) - 2 \sum_{\substack{i=3f \\ 1 \leq f \leq N-1}} \zeta_{3N}^{i \cdot h'} - (N-1) \sum_{\substack{i=Ng \\ g=1,2}} \zeta_{3N}^{i \cdot h'} + \sum_{3|h, N|h} \zeta_{3N}^{i \cdot h'} \\
&= 2(N-1) + 2 + (N-1) + 1 \\
&= 3N.
\end{aligned} \tag{3.60}$$

以上のことから, 命題 3.3 の証明が完成した.□

3.1.1 $n = 3$ の場合の零和アレイ

この節では, $n \equiv 0 \pmod{3}$ の場合の例として, $n = 3$ の場合の零和アレイの具体的な形を示す. まず, $\mathbf{w}(3) = \{(0, 1), (1, 3), (3, 0)\}$ であり, この $\mathbf{w}(3)$ から作られる特性多項式 $m_{\mathbf{w}(3)}$ の解 $V_{\mathbb{T}^2}(m_{\mathbf{w}(3)})$ は以下の 14 個になる:

$$V_{\mathbb{T}^2}(m_{\mathbf{w}(3)}) = \left\{ \begin{array}{l} (\zeta_{21}^4, \zeta_{21}^5), (\zeta_{21}^{16}, \zeta_{21}^{20}), (\omega, \omega^2), (\zeta_{21}^{19}, \zeta_{21}^8), (\zeta_{21}^{10}, \zeta_{21}^2), \\ (\zeta_{21}^1, \zeta_{21}^{17}), (\zeta_{21}^{13}, \zeta_{21}^{11}), (\zeta_{21}^8, \zeta_{21}^{10}), (\zeta_{21}^{20}, \zeta_{21}^4), (\zeta_{21}^{11}, \zeta_{21}^{19}), \\ (\zeta_{21}^2, \zeta_{21}^{13}), (\omega^2, \omega), (\zeta_{21}^5, \zeta_{21}^1), (\zeta_{21}^{17}, \zeta_{21}^{16}) \end{array} \right\} \tag{3.61}$$

この解を用いて作られる零和アレイの例として, 解 $(\zeta_{21}^4, \zeta_{21}^5)$ に対応するアレイ $\mathbf{a}(\zeta_{21}^4, \zeta_{21}^5)$ を挙げると, 次の様になる (ζ_{21} を ζ と表す):

$$\begin{array}{cccccccc}
\zeta^{16} & \zeta^{12} & \zeta^8 & \zeta^4 & 1 & \zeta^{17} & \zeta^{13} & \zeta^9 \\
1 & \zeta^{17} & \zeta^{13} & \zeta^9 & \zeta^5 & \zeta & \zeta^{18} & \zeta^{14} \\
\zeta^5 & \zeta & \zeta^{18} & \zeta^{14} & \zeta^{10} & \zeta^6 & \zeta^2 & \zeta^{19} \\
\zeta^{10} & \zeta^6 & \zeta^2 & \zeta^{19} & \zeta^{15} & \zeta^{11} & \zeta^7 & \zeta^3 \\
\zeta^{15} & \zeta^{11} & \zeta^7 & \zeta^3 & \zeta^{20} & \zeta^{16} & \zeta^{12} & \zeta^8 \\
\zeta^{20} & \zeta^{16} & \zeta^{12} & \zeta^8 & \zeta^4 & 1 & \zeta^{17} & \zeta^{13} \\
\zeta^4 & 1 & \zeta^{17} & \zeta^{13} & \zeta^9 & \zeta^5 & \zeta & \zeta^{18} \\
\zeta^9 & \zeta^5 & \zeta & \zeta^{18} & \zeta^{14} & \zeta^{10} & \zeta^6 & \zeta^2
\end{array}$$

Fig 2: $\mathbf{a}(\zeta_{21}^4, \zeta_{21}^5)$

この解を (3.17) の $\mathbf{A}_{\mathbf{w}(3)}^0$ の部分空間 V_1, V_2 に当てはめると,

$$\begin{cases}
V_1 = \langle \mathbf{a}(\omega, \omega^2), \mathbf{a}(\omega^2, \omega) \rangle_{\mathbb{C}}, \\
V_2 = \langle \mathbf{a}(\zeta_{21}^{4k}, \zeta_{21}^{5k}); 1 \leq k \leq 21, 3 \nmid k, 7 \nmid k \rangle_{\mathbb{C}}.
\end{cases} \quad (3.62)$$

と分けることができ、さらに (3.25) の S_1, S_2 は以下の様になる:

$$\begin{cases}
S_1 = \mathbf{a}(\omega, \omega^2) + \mathbf{a}(\omega^2, \omega) \in V_1, \\
S_2 = \sum_{\substack{k=1 \\ 3 \nmid k, 7 \nmid k}}^{20} \mathbf{a}(\zeta_{21}^{4k}, \zeta_{21}^{5k}) \in V_2.
\end{cases} \quad (3.63)$$

ここで,

$$\begin{aligned}
\omega + \omega^2 &= -1, \\
\zeta_{21}^3 + \zeta_{21}^6 + \cdots + \zeta_{21}^{18} &= -1, \\
\zeta_{21}^1 + \zeta_{21}^2 + \zeta_{21}^4 + \cdots + \zeta_{21}^{20} &= 1,
\end{aligned}$$

であるから、アレイ S_1, S_2 は次の様になる:

-1	2	-1	-1	2	-1	-1	2	1	-2	1	1	12	1	1	-2
2	-1	-1	2	-1	-1	2	-1	12	1	1	-2	1	1	-2	-6
-1	-1	2	-1	-1	2	-1	-1	1	1	-2	-6	1	-2	1	1
-1	2	-1	-1	2	-1	-1	2	1	-2	1	1	-2	1	-6	-2
2	-1	-1	2	-1	-1	2	-1	-2	1	-6	-2	1	1	-2	1
-1	-1	2	-1	-1	2	-1	-1	1	1	-2	1	1	12	1	1
-1	2	-1	-1	2	-1	-1	2	-1	12	-1	-1	-2	1	-1	-2
2	-1	-1	2	-1	-1	2	-1	-2	1	1	-2	-6	1	-2	1

Fig 3: S_1

Fig 4: S_2

ここで S_2 の原点からの x 軸上の値に注目すると, 21 個の値で 1 周期となっており, この並びは

$$v^0 = (12, 1, 1, -2, 1, 1, -2, -6, 1, -2, 1, 1, -2, 1, -6, -2, 1, 1, -2, 1, 1) \quad (3.64)$$

となる. これを 1 つずつ左に動かしたもの $v^k = (v_{i-k}^0)_{i=0, \dots, 20} (1 \leq k \leq 20)$ を縦に重ね, 21×21 行列を作り, 行基本変形を行うと次の様な行列を得る:

$$M \cong \begin{pmatrix} E_{12} & M_{12,9} \\ O & O \end{pmatrix}.$$

E_{12} は 12×12 の単位行列であり, $M_{12,9}$ は以下の様な 12×9 行列になる:

$$M_{12,9} = \begin{pmatrix} -1 & -1 & -1 & 0 & 0 & 0 & 0 & 1 & 1 \\ 1 & 0 & 0 & -1 & 0 & 0 & 0 & -1 & 0 \\ 0 & 1 & 0 & 0 & -1 & 0 & 0 & 0 & -1 \\ -1 & -1 & 0 & 0 & 0 & -1 & 0 & 1 & 1 \\ 1 & 0 & 0 & 0 & 0 & 0 & -1 & -1 & 0 \\ 0 & 1 & 0 & 0 & 0 & 0 & 0 & -1 & -1 \\ -1 & -1 & 0 & 0 & 0 & 0 & 0 & 1 & 0 \\ 0 & -1 & -1 & 0 & 0 & 0 & 0 & 0 & 1 \\ 1 & 1 & 0 & -1 & 0 & 0 & 0 & -1 & -1 \\ -1 & 0 & 0 & 0 & -1 & 0 & 0 & 1 & 0 \\ 0 & -1 & 0 & 0 & 0 & -1 & 0 & 0 & 1 \\ 1 & 1 & 0 & 0 & 0 & 0 & -1 & -1 & -1 \end{pmatrix}.$$

よって, M_1 のランクは 12 であり, V_2 の次元と一致し, 同様のことを S_1 でも行くと, 行列のランクが 2 となり, V_1 の次元と一致した. よって, $12 + 2 = 14$ であり, 特性多項式の解の個数と一致していることが確認できたので, $\mathbf{A}_{\mathbf{w}(3)}^0$ の \mathbb{Q} 基底であって, その値がすべて $0, \pm 1$ であるものが得られる.

3.1.2 $n = 4$ の場合の零和アレイ

次に, $n \equiv 1 \pmod{3}$ の例として, $n = 4$ の場合を挙げる. このとき, ウィンドウは $\mathbf{w}(4) = \{(0, 1), (1, 4), (4, 0)\}$ となり, 命題 3.1 より, 特性多項式の解 $V_{\mathbb{T}^2}(m_{\mathbf{w}(4)})$ は以下の 26 個になる:

$$V_{\mathbb{T}^2}(m_{\mathbf{w}(4)}) = \left\{ \begin{array}{l} (\zeta_{39}^5, \zeta_{39}^7), (\zeta_{39}^{20}, \zeta_{39}^{28}), (\zeta_{39}^{35}, \zeta_{39}^{10}), (\zeta_{39}^{11}, \zeta_{39}^{31}), (\omega^2, \omega), \\ (\zeta_{39}^2, \zeta_{39}^{34}), (\zeta_{39}^{17}, \zeta_{39}^{16}), (\zeta_{39}^{32}, \zeta_{39}^{37}), (\zeta_{39}^8, \zeta_{39}^{19}), (\zeta_{39}^{23}, \zeta_{39}^1), \\ (\zeta_{39}^{38}, \zeta_{39}^{22}), (\zeta_{39}^{14}, \zeta_{39}^4), (\zeta_{39}^{29}, \zeta_{39}^{25}), (\zeta_{39}^{10}, \zeta_{39}^{14}), (\zeta_{39}^{25}, \zeta_{39}^{35}), \\ (\zeta_{39}^1, \zeta_{39}^{17}), (\zeta_{39}^{16}, \zeta_{39}^{38}), (\zeta_{39}^{31}, \zeta_{39}^{20}), (\zeta_{39}^7, \zeta_{39}^2), (\zeta_{39}^{22}, \zeta_{39}^{23}), \\ (\zeta_{39}^{37}, \zeta_{39}^5), (\omega, \omega^2), (\zeta_{39}^{28}, \zeta_{39}^8), (\zeta_{39}^4, \zeta_{39}^{29}), (\zeta_{39}^{19}, \zeta_{39}^{11}), \\ (\zeta_{39}^{34}, \zeta_{39}^{32}) \end{array} \right\} \quad (3.65)$$

アレイの例として $\mathbf{a}(\omega^2, \omega)$ と $\mathbf{a}(\zeta_{39}^5, \zeta_{39}^7)$ は以下の様になる:

ω^2	1	ω	ω^2	1	ω	ω^2	1	ζ^2	ζ^{36}	ζ^{31}	ζ^{26}	ζ^{21}	ζ^{16}	ζ^{11}	ζ^6
1	ω	ω^2	1	ω	ω^2	1	ω	ζ^9	ζ^4	ζ^{38}	ζ^{33}	ζ^{28}	ζ^{23}	ζ^{18}	ζ^{13}
ω	ω^2	1	ω	ω^2	1	ω	ω^2	ζ^{16}	ζ^{11}	ζ^6	ζ	ζ^{35}	ζ^{30}	ζ^{25}	ζ^{20}
ω^2	1	ω	ω^2	1	ω	ω^2	1	ζ^{23}	ζ^{18}	ζ^{13}	ζ^8	ζ^3	ζ^{37}	ζ^{32}	ζ^{27}
1	ω	ω^2	1	ω	ω^2	1	ω	ζ^{30}	ζ^{25}	ζ^{20}	ζ^{15}	ζ^{10}	ζ^5	1	ζ^{34}
ω	ω^2	1	ω	ω^2	1	ω	ω^2	ζ^{37}	ζ^{32}	ζ^{27}	ζ^{22}	ζ^{17}	ζ^{12}	ζ^7	ζ^2
ω^2	1	ω	ω^2	1	ω	ω^2	1	ζ^5	1	ζ^{34}	ζ^{29}	ζ^{24}	ζ^{19}	ζ^{14}	ζ^9
1	ω	ω^2	1	ω	ω^2	1	ω	ζ^{12}	ζ^7	ζ^2	ζ^{36}	ζ^{31}	ζ^{26}	ζ^{21}	ζ^{16}

Fig 5: $\mathbf{a}(\omega^2, \omega)$

Fig 6: $\mathbf{a}(\zeta_{39}^5, \zeta_{39}^7)$

この解を $\mathbf{A}_{\mathbf{w}(4)}^0$ の部分空間 V_1, V_2 に当てはめると,

$$\begin{cases} V_1 = \langle \mathbf{a}(\omega, \omega^2), \mathbf{a}(\omega^2, \omega) \rangle_{\mathbb{C}}, \\ V_2 = \langle \mathbf{a}(\zeta_{39}^{5k}, \zeta_{39}^{7k}); 1 \leq k \leq 39, 3 \nmid k, 13 \nmid k \rangle_{\mathbb{C}}, \end{cases} \quad (3.66)$$

と分けることができ、さらに S_1, S_2 を定義すると以下の様になる:

$$\begin{cases} S_1 = \mathbf{a}(\omega, \omega^2) + \mathbf{a}(\omega^2, \omega) \in V_1, \\ S_2 = \sum_{\substack{k=1 \\ 3 \nmid k, 13 \nmid k}}^{38} \mathbf{a}(\zeta_{39}^{5k}, \zeta_{39}^{7k}) \in V_2. \end{cases} \quad (3.67)$$

補足として、以下の計算から S_2 は有理化される:

$$\begin{aligned} \zeta_{39}^3 + \zeta_{39}^6 + \cdots + \zeta_{39}^{36} &= -1, \\ \zeta_{39}^1 + \zeta_{39}^2 + \zeta_{39}^4 + \cdots + \zeta_{39}^{38} &= 1. \end{aligned}$$

よって、アレイ S_1, S_2 は以下の様になる:

-1	2	-1	-1	2	-1	-1	2	1	-2	1	-12	-2	1	1	-2
2	-1	-1	2	-1	-1	2	-1	-2	1	1	-2	1	1	-2	-12
-1	1	2	-1	-1	2	-1	-1	1	1	-2	1	1	-2	1	1
-1	2	-1	-1	2	-1	-1	2	1	-2	-12	1	-2	1	1	-2
2	-1	-1	2	-1	-1	2	-1	-2	1	1	-2	1	1	24	1
-1	-1	2	-1	-1	2	-1	-1	1	1	-2	1	1	-2	1	1
-1	2	-1	-1	2	-1	-1	2	-1	24	-1	-1	-2	1	-1	-2
2	-1	-1	2	-1	-1	2	-1	-2	1	1	-2	1	-12	-2	1

Fig 7: \mathbf{S}_1

Fig 8: \mathbf{S}_2

ここで S_2 の x 軸上の値の周期に注目すると、1周期が39個の要素からなる次の v^0 が見える:

$$v^0 = \begin{aligned} &24, 1, 1, -2, 1, 1, -2, 1, 1, -2, 1, 1, -2, -12, 1, -2, 1, 1, \\ &-2, 1, 1, -2, 1, 1, -2, 1, -12, -2, 1, 1, -2, 1, 1, -2, 1, 1, -2, 1, 1. \end{aligned} \quad (3.68)$$

さらに、 v^0 を左に1つずつ動かしたものを $v^k = (v_{i-k}^0)_{i=0, \dots, 38} (1 \leq k \leq 38)$ とし、これを縦に重ね 39×39 行列 M を作り、それを行基本変形すると

$$M \cong \begin{pmatrix} E_{24} & M_{24,15} \\ O & O \end{pmatrix},$$

となる。 E_{24} は 24×24 の単位行列であり、特に $M_{24,15}$ は以下の様な 24×15 行列になる:

$$M_{24,15} = \begin{pmatrix} -1 & -1 & -1 & 0 & 0 & 0 & 0 & 0 & 0 & 0 & 0 & 0 & 0 & 1 & 1 \\ 1 & 0 & 0 & -1 & 0 & 0 & 0 & 0 & 0 & 0 & 0 & 0 & 0 & -1 & 0 \\ 0 & 1 & 0 & 0 & -1 & 0 & 0 & 0 & 0 & 0 & 0 & 0 & 0 & 0 & -1 \\ -1 & -1 & 0 & 0 & 0 & -1 & 0 & 0 & 0 & 0 & 0 & 0 & 0 & 1 & 1 \\ 1 & 0 & 0 & 0 & 0 & 0 & -1 & 0 & 0 & 0 & 0 & 0 & 0 & -1 & 0 \\ 0 & 1 & 0 & 0 & 0 & 0 & 0 & -1 & 0 & 0 & 0 & 0 & 0 & 0 & -1 \\ -1 & -1 & 0 & 0 & 0 & 0 & 0 & 0 & -1 & 0 & 0 & 0 & 0 & 1 & 1 \\ 1 & 0 & 0 & 0 & 0 & 0 & 0 & 0 & 0 & -1 & 0 & 0 & 0 & -1 & 0 \\ 0 & 1 & 0 & 0 & 0 & 0 & 0 & 0 & 0 & 0 & -1 & 0 & 0 & 0 & -1 \\ -1 & -1 & 0 & 0 & 0 & 0 & 0 & 0 & 0 & 0 & 0 & -1 & 0 & 1 & 1 \\ 1 & 0 & 0 & 0 & 0 & 0 & 0 & 0 & 0 & 0 & 0 & 0 & -1 & -1 & 0 \\ 0 & 1 & 0 & 0 & 0 & 0 & 0 & 0 & 0 & 0 & 0 & 0 & 0 & -1 & -1 \\ -1 & -1 & 0 & 0 & 0 & 0 & 0 & 0 & 0 & 0 & 0 & 0 & 0 & 1 & 0 \\ 0 & -1 & -1 & 0 & 0 & 0 & 0 & 0 & 0 & 0 & 0 & 0 & 0 & 0 & 1 \\ 1 & 1 & 0 & -1 & 0 & 0 & 0 & 0 & 0 & 0 & 0 & 0 & 0 & -1 & -1 \\ -1 & 0 & 0 & 0 & -1 & 0 & 0 & 0 & 0 & 0 & 0 & 0 & 0 & 1 & 0 \\ 0 & -1 & 0 & 0 & 0 & -1 & 0 & 0 & 0 & 0 & 0 & 0 & 0 & 0 & 1 \\ 1 & 1 & 0 & 0 & 0 & 0 & -1 & 0 & 0 & 0 & 0 & 0 & 0 & -1 & -1 \\ -1 & 0 & 0 & 0 & 0 & 0 & 0 & -1 & 0 & 0 & 0 & 0 & 0 & 1 & 0 \\ 0 & -1 & 0 & 0 & 0 & 0 & 0 & 0 & -1 & 0 & 0 & 0 & 0 & 0 & 1 \\ 1 & 1 & 0 & 0 & 0 & 0 & 0 & 0 & 0 & -1 & 0 & 0 & 0 & -1 & -1 \\ -1 & 0 & 0 & 0 & 0 & 0 & 0 & 0 & 0 & 0 & -1 & 0 & 0 & 1 & 0 \\ 0 & -1 & 0 & 0 & 0 & 0 & 0 & 0 & 0 & 0 & 0 & -1 & 0 & 0 & 1 \\ 1 & 1 & 0 & 0 & 0 & 0 & 0 & 0 & 0 & 0 & 0 & 0 & -1 & -1 & -1 \end{pmatrix}.$$

よって M のランクが 24 であることが分かり、これは V_2 の次元と一致し、 S_1 のアレイは $n = 3$ の場合と同じなので、行列 M のランクと V_1 の次元は 2 となる。以上より $24 + 2 = 26$ であり、特性多項式の解の個数と一致したので、 $\mathbf{A}_{\mathbf{w}(4)}^0$ のすべての \mathbb{Q} 基底であって、その値がすべて $0, \pm 1$ であるものが得られる。

次の節 3.2 において、節 3.1.1 と節 3.1.2 で観察された現象を一般化する。

3.2 $n \equiv 0, 1 \pmod{3}$ の場合の M の形の一般化

前節での具体例に現れた行列の基本変形を一般化した形を定義し、そこから逆に作られるアレイが $\mathbf{A}_{\mathbf{w}(n)}^0$ に属することを示したい。前節をふまえると、以下の様に予想される。一般の場合 M は $3N \times 3N$ 行列となり、それを基本変形すると

$$\begin{pmatrix} E_{2(N-1)} & M_{2(N-1),(N+2)} \\ O & O \end{pmatrix}, \quad (3.69)$$

$$E_{2(N-1)} : 2(N-1) \times 2(N-1) \text{ 単位行列}, \quad (3.70)$$

$$M_{2(N-1),(N+2)} : 2(N-1) \times (N+2) \text{ 行列}, \quad (3.71)$$

という形になるであろう。さらに、行列 $M_{2(N-1),(N+2)}$ に注目すると、この行列は $(N-1) \times (N+2)$ 行列 M^1, M^2 を用いて、

$$M_{2(N-1),(N+2)} = \begin{pmatrix} M^1 \\ M^2 \end{pmatrix}, \quad (3.72)$$

と表すことができ、この行列 M^1 の i 行 j 列の値を M_{ij}^1 と表すとき、 i の値で場合分けを行うと、行列 M^1 は次の様に表すことができるであろう：

j	1	2	...	$i+2$...	$N+1$	$N+2$
$M_{ij}^1 (i \equiv 1 \pmod{3})$	-1	-1	0	-1	0	1	1
$M_{ij}^1 (i \equiv 2 \pmod{3})$	1	0	0	-1	0	-1	0
$M_{ij}^1 (i \equiv 0 \pmod{3})$	0	1	0	-1	0	0	-1
$M_{ij}^1 (i = N-1)$	0	1	0	0	0	-1	-1

(3.73)

また、行列 M^2 の i 行 j 列の値 M_{ij}^2 は行列 M^1 を用いて、 $M^2 = (M_{ij}^2) = (M_{(N-i)(N+3-j)}^1)$ と表すことができるであろう。

そこで、これらの行から作られる 0 と ± 1 のみで構成されたアレイが、ウィンドウ $\mathbf{w}(n) = \{(0, 1), (1, n), (n, 0)\}$ に対して、零和アレイであるか確認を行う。

まず、 V_2 に属するアレイ $\mathbf{a}^k = \mathbf{a}(\zeta_{3N}^{k(n+1)}, \zeta_{3N}^{k(2n-1)})$ の座標 (i, j) での値は、

$$\mathbf{a}_{(i,j)}^k = \zeta_{3N}^{-ik(n+1)} \cdot \zeta_{3N}^{-jk(2n-1)} \quad (3.74)$$

で求まるのであった。

従って, $\mathbf{w}(n)$ のそれぞれの点での値は, まず $(i, j) = (0, 1)$ のとき,

$$\mathbf{a}_{(0,1)}^k = \zeta_{3N}^{-k(2n-1)} \quad (3.75)$$

となる. また, $(i, j) = (1, n)$ のときは,

$$\begin{aligned} \mathbf{a}_{(1,n)}^k &= \zeta_{3N}^{-k(n+1)-nk(2n-1)} \\ &= \zeta_{3N}^{k(-n-1-2n^2+n)} \\ &= \zeta_{3N}^{-k(2n^2+1)}, \end{aligned} \quad (3.76)$$

となり, $(i, j) = (n, 0)$ の値は以下の様になる:

$$\mathbf{a}_{(n,0)}^k = \zeta_{3N}^{-k(n^2+n)}. \quad (3.77)$$

ここで, これらの値の ζ_{3N} の指数で, $-k$ で括られた式に注目すると, それらは以下の様になる:

$$\begin{cases} 2n-1, & (i, j) = (0, 1), \\ 2n^2+1, & (i, j) = (1, n), \\ n^2+n, & (i, j) = (n, 0). \end{cases} \quad (3.78)$$

ここで, この指数のそれぞれの差を考えると,

$$2n^2+1 - (2n-1) = 2n^2 - 2n + 2 = 2N, \quad (3.79)$$

$$2n^2+1 - (n^2+n) = n^2 - n + 1 = N, \quad (3.80)$$

$$n^2+n - (2n-1) = n^2 - n + 1 = N, \quad (3.81)$$

となり, 差がすべて $N, 2N$ で表すことができた. 以上より, ウィンドウで覗く部分の値が全て x 軸上の値とリンクすることができ, 参照する x 座標の間隔が j を起点に, $j, j+N, j+2N$ となることが分かった. この, ウィンドウにリンクする x 軸上の座標を, ベクトルとして以下の様に表すことができる:

$$f^i = e_{3N}^j + e_{3N}^{j+N} + e_{3N}^{j+2N} \quad (1 \leq j \leq N). \quad (3.82)$$

ただし, ここで e_{3N}^k ($1 \leq k \leq 3N$) は行ベクトル空間 \mathbb{Q}^{3N} の標準基底を表すものとする.

このことに注意して、次の定理が成り立つことを示したい:

Theorem 3.1 \mathbb{Q}^{3N} の標準基底を e^i ($1 \leq i \leq 3N$) とし、任意の i ($1 \leq i \leq N-2$) に対し、 \mathbb{Q}^{3N} のベクトル m^i を

$$m^i = \begin{cases} e^i - e^{2N-1} - e^{2N} - e^{2N+i} + e^{3N-1} + e^{3N}, & i \equiv 1 \pmod{3} \\ e^i + e^{2N-1} - e^{2N+i} - e^{3N-1}, & i \equiv 2 \pmod{3} \\ e^i + e^{2N} - e^{2N+i} - e^{3N}, & i \equiv 0 \pmod{3} \end{cases} \quad (3.83)$$

さらに、

$$m^{N-1} = e^{N-1} + e^{2N} - e^{3N-1} - e^{3N}, \quad (3.84)$$

とおく. このとき、任意の $(i, j) \in [1, N-1] \times [1, N]$ に対して

$$\langle m^i, f^j \rangle = 0 \quad (3.85)$$

が成り立つ. ただし $\langle \cdot, \cdot \rangle$ は \mathbb{Q}^{3N} の標準内積である.

Proof: まず、 $i \equiv 1 \pmod{3}$ のとき、 $\langle m^i, f^j \rangle$ は、

$$\langle m^i, f^j \rangle = \langle e^i - e^{2N-1} - e^{2N} - e^{2N+i} + e^{3N-1} + e^{3N}, e^j + e^{j+N} + e^{j+2N} \rangle, \quad (3.86)$$

となり、これを j の値に注意して場合分けを行うと以下の様になる:

$$\langle m^i, f^j \rangle = \begin{cases} 0, & j \leq N-2, j \neq i \\ \langle e^i, e^i \rangle - \langle e^{2N+i}, e^{2N+i} \rangle = 0, & j \leq N-2, j = i \\ -\langle e^{2N-1}, e^{2N-1} \rangle + \langle e^{3N-1}, e^{3N-1} \rangle = 0, & j = N-1 \\ -\langle e^{2N}, e^{2N} \rangle + \langle e^{3N}, e^{3N} \rangle = 0. & j = N \end{cases} \quad (3.87)$$

次に、 $i \equiv 2 \pmod{3}$ のとき、 $\langle m^i, f^j \rangle$ は、

$$\langle m^i, f^j \rangle = \langle e^i + e^{2N-1} - e^{2N+i} - e^{3N-1}, e^j + e^{j+N} + e^{j+2N} \rangle, \quad (3.88)$$

となり、 j の値で場合分けを行うと以下の様になる:

$$\langle m^i, f^j \rangle = \begin{cases} 0, & j \leq N-2, j \neq i \\ \langle e^i, e^i \rangle - \langle e^{2N+i}, e^{2N+i} \rangle = 0, & j \leq N-2, j = i \\ \langle e^{2N-1}, e^{2N-1} \rangle - \langle e^{3N-1}, e^{3N-1} \rangle = 0, & j = N-1 \\ 0. & j = N \end{cases} \quad (3.89)$$

また, $i \equiv 0 \pmod{3}$ のとき,

$$\langle m^i, f^j \rangle = \langle e^i + e^{2N} - e^{2N+i} - e^{3N}, e^j + e^{j+N} + e^{j+2N} \rangle. \quad (3.90)$$

より, これを j の値で場合分けを行うと以下の様になる:

$$\langle m^i, f^j \rangle = \begin{cases} 0, & j \leq N-1, j \neq i \\ \langle e^i, e^i \rangle - \langle e^{2N+i}, e^{2N+i} \rangle = 0, & j \leq N-1, j = i \\ \langle e^{2N}, e^{2N} \rangle - \langle e^{3N}, e^{3N} \rangle = 0. & j = N \end{cases} \quad (3.91)$$

さらに, $i = N-1$ のとき, 内積は

$$\langle m^{N-1}, f^j \rangle = \langle e^{N-1} + e^{2N} - e^{3N-1} - e^{3N}, e^j + e^{j+N} + e^{j+2N} \rangle, \quad (3.92)$$

より, これを j の値で場合分けを行うと以下の様になる:

$$\langle m^{N-1}, f^j \rangle = \begin{cases} 0, & j \leq N-2 \\ \langle e^{N-1}, e^{N-1} \rangle - \langle e^{3N-1}, e^{3N-1} \rangle = 0, & j = N-1 \\ \langle e^{2N}, e^{2N} \rangle - \langle e^{3N}, e^{3N} \rangle = 0. & j = N \end{cases} \quad (3.93)$$

以上, すべての場合の内積が 0 になることが証明された.□

次に, V_2 に属するアレイの, 値が 1 になる点の座標を求める.

Proposition 3.4 V_2 に属する零和アレイの値が, $\mathbf{a}_{(i,j)} = (x_0^i y_0^j)^{-1} = 1$ を満たす (i, j) の条件は, $3N$ を法として, 以下の様な i の合同式で表すことができる:

$$i \equiv -(2n-1)(n+1)^{-1}j \pmod{3N}. \quad (3.94)$$

Proof: 定理 2.2 および命題 3.1 より, $t = \zeta_{3N}^k$ ($1 \leq k \leq 3N-1$, $3 \nmid k$) を用いて,

$$(t^{(n+1)i} \cdot t^{(2n-1)j})^{-1} = 1, \quad (3.95)$$

を満たす $(i, j) \in \mathbb{Z}^2$ を求める. 指数に注目するとき, $t = \zeta_{3N}^k$ より, $t^{3N} = 1 = t^0$ が成り立つでの $3N$ を法とした次の式が得られる:

$$\begin{aligned} \{(n+1)i + (2n-1)j\}(-1) &\equiv 0 \pmod{3N}, \\ (n+1)i + (2n-1)j &\equiv 0 \pmod{3N}, \\ (n+1)i &\equiv -(2n-1)j \pmod{3N}. \end{aligned}$$

ここで, $n+1$ と $3N = 3(n^2 - n + 1)$ の関係は, $n \equiv 0, 1 \pmod{3}$ より,
 $GCD(n+1, 3) = 1$, また,

$$\begin{aligned} GCD(n+1, N) &= GCD(n+1, n^2 - n + 1) \\ &= GCD(n+1, n^2 - n + 1 - (n-2)(n+1)) \\ &= GCD(n+1, 3) \\ &= 1 \end{aligned}$$

であるから, $GCD(n+1, 3N) = 1$ が得られる. このことから $3N$ を法としたときに, $(n+1)^{-1}$ が存在する. 以上より i は以下の様に定まる:

$$i \equiv -(2n-1)(n+1)^{-1}j \pmod{3N}. \square$$

Corollary 3.1 m^i から次のルールでアレイ \mathbf{b}^i を作る:

$$\mathbf{b}_{(r,s)}^i = m_{[r-f(s)]_{3N}}^i. \quad (3.96)$$

ただし, $f(s) = -(2n-1)(n+1)^{-1}s, [x]_{3N}$ は, x の $\text{mod } 3N$ での非負最小代表元を表すものとする. このとき $\mathbf{b}^i \in \mathbf{A}_{\mathbf{w}(n)}^0$ である.

Proof: 命題 3.4 より (r, s) が, $r \equiv f(s) \pmod{3N}$ を満たすとき, $\mathbf{a}_{(r,s)}^k = 1$ となる. また, V_2 のアレイはすべて二重周期 $(3N, 0), (f(1), 1)$ を持つことから, 系が成り立つ. \square

さらに, 行列 M^2 から同様のやり方で $\mathbf{A}_{\mathbf{w}(n)}^0$ に属するアレイ \mathbf{c}^i ($1 \leq i \leq N-1$) を作る事ができ, 以下の定理を得る:

Theorem 3.2 $\mathbf{A}_{\mathbf{w}(n)}^0$ の \mathbb{Q} 基底として, その値がすべて $0, \pm 1$ であるアレイを取ることができる.

4 横幅が n の L 字型ウィンドウに対する離散トモグラフィ

この章では、南との共著論文 [9] から、特に私が担当した部分について述べる。

n が 2 以上の整数のとき、ウィンドウ \mathbf{w}_n を以下の様な横幅が n の L 字型ウィンドウとする:

$$\mathbf{w}_n = \{(0.1), (0.0), (1.0), (2.0), \dots, (n-1.0)\}. \quad (4.1)$$

これに付随する零和アレイ $\mathbf{A}_{\mathbf{w}_n}^0$ を求めると、3 章と同様に、値が 1 の累乗根 ζ で表された零和アレイが得られる。よって、零和アレイの有理化を考え、さらにそこから、値が 0, ± 1 からなる零和アレイを求めていく。

まず、このウィンドウ \mathbf{w}_n に対応する特性多項式 $m_{\mathbf{w}_n}$ は、定義 2.1 より以下の様になる:

$$m_{\mathbf{w}_n} = 1 + y + x^1 + x^2 + x^3 + \dots + x^{n-1}. \quad (4.2)$$

ここで、 $m_{\mathbf{w}_n} = 0$ を考える。 $(x, y) \in V_{\mathbb{T}^2}(m_{\mathbf{w}_n})$ に対し、 $\bar{x} = \frac{1}{x}, \bar{y} = \frac{1}{y}$ となることから、特性多項式 $m_{\mathbf{w}_n} = 0$ に対して、 $\overline{m_{\mathbf{w}_n}}$ を考えるとき、この式は以下の様になる:

$$\overline{m_{\mathbf{w}_n}} = 1 + \frac{1}{y} + \frac{1}{x} + \frac{1}{x^2} + \frac{1}{x^3} + \dots + \frac{1}{x^{n-1}}. \quad (4.3)$$

また、 $\overline{m_{\mathbf{w}_n}} = 0$ の両辺に $x^{n-1}y$ を掛けると、

$$x^{n-1}y + x^{n-1} + x^{n-2}y + x^{n-3}y + \dots + xy + y = 0, \quad (4.4)$$

となり、 $m_{\mathbf{w}_n} = 0$ から (4.4) を引くと次の式を得る:

$$1 + x + x^2 + \dots + x^{n-2} = xy + x^2y + x^3y + \dots + x^{n-1}y. \quad (4.5)$$

よって、これを整理すれば次の式を得ることが出来る:

$$(1 + x + x^2 + x^3 + \dots + x^{n-2})(1 - xy) = 0. \quad (4.6)$$

まず、 $1 + x + x^2 + x^3 + \dots + x^{n-2} = 0$ のとき、この解は $x = \zeta_{n-1}^k$ ($1 \leq k \leq n-2$) となる。これを、元の $m_{\mathbf{w}_n} = 0$ に代入すると $y = -1$ を得るので、以下の様な $n-2$ 個の解を得る:

$$(x, y) = (\zeta_{n-1}^k, -1) \quad (1 \leq k \leq n-2). \quad (4.7)$$

また, $1 - xy = 0$ のとき, これを変形した $x = \frac{1}{y}$ を $m_{\mathbf{w}_n} = 0$ に代入すると,

$$1 + y + \frac{1}{y} + \frac{1}{y^2} + \cdots + \frac{1}{y^{n-1}} = 0, \quad (4.8)$$

となり, これの両辺に y^{n-1} を掛けると, 次の様になる:

$$y^{n-1} + y^n + y^{n-2} + y^{n-3} + \cdots + 1 = 0. \quad (4.9)$$

この式の解は $y = \zeta_{n+1}^l$ ($1 \leq l \leq n$) であり, 条件の $x = \frac{1}{y}$ より, 以下の n 個の解を得る:

$$(x, y) = (\zeta_{n+1}^l, \zeta_{n+1}^{n+1-l}) \quad (1 \leq l \leq n). \quad (4.10)$$

しかし, n が奇数のとき, (4.7) と (4.10) は以下の唯一の共通解をもつ:

$$(\zeta_{n-1}^{\frac{n-1}{2}}, -1) = (-1, -1), (\zeta_{n+1}^{\frac{n+1}{2}}, \zeta_{n+1}^{\frac{n+1}{2}}) = (-1, -1).$$

よって, 特性多項式の解の個数 $\#(V_{\mathbb{T}^2}(m_{\mathbf{w}_n}))$ は以下の様になる:

$$\#(V_{\mathbb{T}^2}(m_{\mathbf{w}_n})) = \begin{cases} 2n - 2, & n \equiv 0 \pmod{2}, \\ 2n - 3, & n \equiv 1 \pmod{2}. \end{cases} \quad (4.11)$$

また, $\mathbf{A}_{\mathbf{w}_n}^0$ の部分空間 V_1, V_2 を, 以下の様に定義する:

$$\begin{cases} V_1 = \langle \mathbf{a}(\zeta_{n-1}^k, -1); 1 \leq k \leq n-2 \rangle_{\mathbb{C}}, \\ V_2 = \langle \mathbf{a}(\zeta_{n+1}^l, \zeta_{n+1}^{n+1-l}); 1 \leq l \leq n \rangle_{\mathbb{C}}. \end{cases} \quad (4.12)$$

すると, n が偶数のとき, $\mathbf{A}_{\mathbf{w}_n}^0$ は V_1, V_2 を用いて,

$$\mathbf{A}_{\mathbf{w}_n}^0 = V_1 \oplus V_2, \quad (4.13)$$

$$V_1 \cap V_2 = \{0\}, \quad (4.14)$$

と表すことができる. また, n が奇数のときは以下の様に表すことができる:

$$\mathbf{A}_{\mathbf{w}_n}^0 = V_1 + V_2, \quad (4.15)$$

$$V_1 \cap V_2 = \langle \mathbf{a}(-1, -1) \rangle_{\mathbb{C}}. \quad (4.16)$$

以上のことから, $\mathbf{A}_{\mathbf{w}_n}^0$ の次元は, 以下の様になる:

$$\dim_{\mathbb{C}} \mathbf{A}_{\mathbf{w}_n}^0 = \begin{cases} 2n - 2, & n \equiv 0 \pmod{2}, \\ 2n - 3, & n \equiv 1 \pmod{2}. \end{cases} \quad (4.17)$$

この章の目標は、次の定理を証明することである:

Theorem 4.1 任意の自然数 $n (\geq 2)$ に対し、ウィンドウ \mathbf{w}_n に付随する零和アレイの空間 $\mathbf{A}_{\mathbf{w}_n}^0$ は全ての値が $0, \pm 1$ であるような \mathbb{Q} 基底を持つ.

以下では、 n が偶数の場合と奇数の場合に分けて、主張されている \mathbb{Q} 基底を具体的に構成する.

4.1 $n \equiv 0 \pmod{2}$ の場合

まず、 S_1, S_2 を以下のように定義する:

$$S_1 = \sum_{k=1}^{n-2} \mathbf{a}(\zeta_{n-1}^k, -1) \in V_1, \quad (4.18)$$

$$S_2 = \sum_{l=1}^n \mathbf{a}(\zeta_{n+1}^l, \zeta_{n+1}^{n+1-l}) \in V_2. \quad (4.19)$$

すると、アレイ S_1, S_2 の値は、それぞれガロア群 $Gal(\mathbb{Q}(\zeta_{n-1})/\mathbb{Q})$ と $Gal(\mathbb{Q}(\zeta_{n+1})/\mathbb{Q})$ の作用で不変であることから、有理数となる. また、 $\sum_{i=1}^{m-1} \zeta_m^i = -1$ となることから、 S_1, S_2 は以下の様なシンプルなアレイとなる:

$$\begin{array}{cccccccc} 1 & 2-n & 1 & 1 & 1 & \dots & 1 & 2-n & 1 \\ -1 & n-2 & -1 & -1 & -1 & \dots & -1 & n-2 & -1 \\ 1 & 2-n & 1 & 1 & 1 & \dots & 1 & 2-n & 1 \\ -1 & n-2 & -1 & -1 & -1 & \dots & -1 & n-2 & -1 \\ 1 & 2-n & 1 & 1 & 1 & \dots & 1 & 2-n & 1 \end{array}$$

Fig 9: S_1

$$\begin{array}{cccccccccccc}
-1 & -1 & -1 & -1 & n & \dots & -1 & -1 & -1 & -1 & & \\
-1 & -1 & -1 & n & -1 & \dots & -1 & -1 & -1 & n & & \\
-1 & -1 & n & -1 & -1 & \dots & -1 & -1 & n & -1 & & \\
-1 & n & -1 & -1 & -1 & \dots & -1 & n & -1 & -1 & & \\
n & -1 & -1 & -1 & -1 & \dots & n & -1 & -1 & -1 & &
\end{array}$$

Fig 10: S_2

また, S_1, S_2 の生成する部分空間の次元を求める計算の過程で, 次の補題が有用な為, 先に証明を行う.

Lemma 4.1 任意の整数 $m \geq 2$ に対し, 以下の様な $(m+1) \times (m+1)$ 行列 A_m を考える:

$$A_m = \begin{pmatrix} m & -1 & -1 & \dots & -1 \\ -1 & m & -1 & \dots & -1 \\ -1 & -1 & m & \dots & -1 \\ \vdots & \vdots & \vdots & \ddots & \vdots \\ -1 & -1 & -1 & \dots & m \end{pmatrix}.$$

このとき, A_m に行基本変形を行うことで, 以下の様な $(m+1) \times (m+1)$ 行列 B_m を得る:

$$B_m = \begin{pmatrix} 1 & 0 & 0 & \dots & 0 & -1 \\ 0 & 1 & 0 & \dots & 0 & -1 \\ 0 & 0 & 1 & \dots & 0 & -1 \\ \vdots & \vdots & \vdots & \ddots & \vdots & \vdots \\ 0 & 0 & 0 & \dots & 1 & -1 \\ 0 & 0 & 0 & \dots & 0 & 0 \end{pmatrix}.$$

特に, $\text{rank } A_m = m$ となる.

Proof: i 行を c 倍して j 行に加えるという行基本変形に対応する基本行列を $E(i, j : c)$ とおく. 同様に, i 行を c 倍する操作に対応する行列を $E(i : c)$ と表す.

これらを用いて, A_m の行基本変形を行う. まず,

$$E(m+1, 1; -1)E(m+1, 2; -1) \cdots E(m+1, m; -1)A_m = \begin{pmatrix} m+1 & 0 & 0 & \cdots & 0 & -(m+1) \\ 0 & m+1 & 0 & \cdots & 0 & -(m+1) \\ 0 & 0 & m+1 & \cdots & 0 & -(m+1) \\ \vdots & \vdots & \vdots & \ddots & \vdots & \vdots \\ 0 & 0 & 0 & \cdots & m+1 & -(m+1) \\ -1 & -1 & -1 & \cdots & -1 & m \end{pmatrix}.$$

となる. この行列を A'_m とし, さらに変形を続けると,

$$E(1; 1/m+1)E(2; 1/m+1) \cdots E(m; 1/m+1)A'_m = \begin{pmatrix} 1 & 0 & 0 & \cdots & 0 & -1 \\ 0 & 1 & 0 & \cdots & 0 & -1 \\ 0 & 0 & 1 & \cdots & 0 & -1 \\ \vdots & \vdots & \vdots & \ddots & \vdots & \vdots \\ 0 & 0 & 0 & \cdots & 1 & -1 \\ -1 & -1 & -1 & \cdots & -1 & m \end{pmatrix}.$$

となる. さらにこの行列を A''_m とおくと, 以下の式を得ることができる:

$$E(1, m+1; 1)E(2, m+1; 1) \cdots E(m, m+1; 1)A''_m = B_m.$$

以上より, 補題は証明された. \square

ここで, アレイ S_1 の j 行の値の並び $((S_1)_{(i,j)})_{i \in \mathbb{Z}}$ は, (4.18) より $(j-1)$ 行の値を -1 倍したものと等しい. また, S_1 の x 軸上の値に注目すると, $n-1$ 個の値で 1 周期となっている. 従って, $(a_{(i,j)})_{(i,j) \in \mathbb{Z}^2} \mapsto (a_{(i,0)})_{i \in [0, n-2]}$ によって定義される射影 $\mathbb{C}^{\mathbb{Z} \times \mathbb{Z}} \rightarrow \mathbb{C}^{[0, n-2]}$ は, V_1 から, その像の上への同型写像となる. 実際に, アレイ $((S_1)_{(i,0)})_{i=0, \dots, n-2}$ を u^1 とおく:

$$u^1 = (n-2, -1, -1, \dots, -1). \quad (4.20)$$

この u^1 を右に 1 つずつ動かしたものを, $u^k = (u_{i-k+1})_{i=0, \dots, n-2}$ ($2 \leq k \leq n-1$) とする. (添字は, $n-1$ を法とした値とする.) よって, この u^k ($1 \leq k \leq n-1$)

を縦に重ねたとき, 次の様な $(n-1) \times (n-1)$ 行列 A_{n-2} を得る:

$$A_{n-2} = \begin{pmatrix} n-2 & -1 & -1 & \cdots & -1 & -1 \\ -1 & n-2 & -1 & \cdots & -1 & -1 \\ -1 & -1 & n-2 & \cdots & -1 & -1 \\ \vdots & \vdots & \vdots & \ddots & \vdots & \vdots \\ -1 & -1 & -1 & \cdots & n-2 & -1 \\ -1 & -1 & -1 & \cdots & -1 & n-2 \end{pmatrix}.$$

この行列を, 補題 4.1 に従って行基本変形をすると, 以下の様な $(n-1) \times (n-1)$ 行列 B_{n-2} を得る:

$$B_{n-2} = \begin{pmatrix} 1 & 0 & 0 & \cdots & 0 & -1 \\ 0 & 1 & 0 & \cdots & 0 & -1 \\ 0 & 0 & 1 & \cdots & 0 & -1 \\ \vdots & \vdots & \vdots & \ddots & \vdots & \vdots \\ 0 & 0 & 0 & \cdots & 1 & -1 \\ 0 & 0 & 0 & \cdots & 0 & 0 \end{pmatrix},$$

特に, $\text{rank } B_{n-2} = n-2$ となる. 以上より, 任意の整数 k ($1 \leq k \leq n-2$) に対して, B_{n-2} の k 行から作られるアレ $\mathbf{b} \in V_1$ は以下の様になる:

$$\mathbf{b}_{(i,j)}^k = \begin{cases} (-1)^j, & i \equiv k-1 \pmod{n-1}, \\ (-1)^{j+1}, & i \equiv -1 \pmod{n-1}, \\ 0, & i \not\equiv k-1, -1 \pmod{n-1}. \end{cases}$$

同様のことをアレ S_2 で考えるとき, $(n+1) \times (n+1)$ 行列 A_n を得るとともに, 補題 4.1 より, ランクが n の行列 B_n を得る. ここで, V_2 に属するすべてのアレ \mathbf{d} が 2 重周期 $\{(n+1, 0), (1, 1)\}$ をもつことに注意して, 任意の整数 l ($1 \leq l \leq n$) に対し, B_n の l 行から作られるアレ $\mathbf{d}^l \in V_2$ を, 次の様に定義することができる:

$$\mathbf{d}_{(i,j)}^l = \begin{cases} 1, & i-j \equiv l-1 \pmod{n+1}, \\ -1, & i-j \equiv -1 \pmod{n+1}, \\ 0, & i-j \not\equiv l-1, -1 \pmod{n+1}. \end{cases}$$

以上のことから, V_1, V_2 の \mathbb{Q} 基底を得ることができた:

$$V_1 = \langle \mathbf{b}^k; 1 \leq k \leq n-2 \rangle_{\mathbb{Q}} \otimes \mathbb{C},$$

$$V_2 = \langle \mathbf{d}^l; 1 \leq l \leq n \rangle_{\mathbb{Q}} \otimes \mathbb{C}.$$

しかも, これらのアレイの値は全て 0 か ± 1 であることは, 注目すべきである.

例として, アレイ $\mathbf{b}^1, \mathbf{b}^{n-2}, \mathbf{d}^1, \mathbf{d}^n$ とともに, ウィンドウ \mathbf{w}_n (四角で囲んだ部分) を挿入したものを挙げる. このウィンドウで覗いた部分の値の和は 0 であり, ウィンドウを平行移動した場合でも変わらないことが確認できる.

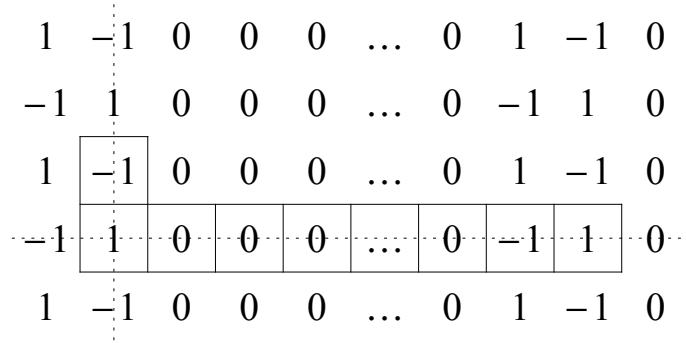


Fig 11: \mathbf{b}^1

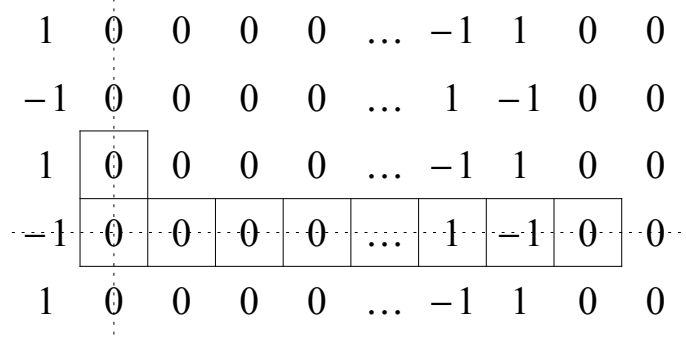


Fig 12: \mathbf{b}^{n-2}

$$\begin{array}{cccccccccc}
0 & 0 & 0 & -1 & 1 & \dots & 0 & 0 & 0 & 0 \\
0 & 0 & -1 & 1 & 0 & \dots & 0 & 0 & 0 & 0 \\
0 & -1 & 1 & 0 & 0 & \dots & 0 & 0 & 0 & -1 \\
-1 & 1 & 0 & 0 & 0 & \dots & 0 & 0 & -1 & 1 \\
1 & 0 & 0 & 0 & 0 & \dots & 0 & -1 & 1 & 0
\end{array}$$

Fig 13: \mathbf{d}^1

$$\begin{array}{cccccccccc}
0 & 0 & 1 & -1 & 0 & \dots & 0 & 0 & 0 & 0 \\
0 & 1 & -1 & 0 & 0 & \dots & 0 & 0 & 0 & 1 \\
1 & -1 & 0 & 0 & 0 & \dots & 0 & 0 & 1 & -1 \\
-1 & 0 & 0 & 0 & 0 & \dots & 0 & 1 & -1 & 0 \\
0 & 0 & 0 & 0 & 0 & \dots & 1 & -1 & 0 & 0
\end{array}$$

Fig 14: \mathbf{d}^n

4.2 $n \equiv 1 \pmod{2}$ の場合

この節では n が奇数の場合について考察する. このとき, V_1, V_2 は以下の共通部分空間を持つのであった.

$$V_1 \cap V_2 = \langle \mathbf{a}(-1, -1) \rangle_{\mathbb{C}}. \quad (4.21)$$

このことから, V_1, V_2 における $V_1 \cap V_2$ の補空間を V'_1, V'_2 とすると, 以下の様に表すことができる:

$$V'_1 = \langle \mathbf{a}(\zeta_{n-1}^k, -1); 1 \leq k \leq n-2, k \neq \frac{n-1}{2} \rangle_{\mathbb{C}}, \quad (4.22)$$

$$V'_2 = \langle \mathbf{a}(\zeta_{n+1}^l, \zeta_{n+1}^{n+1-l}); 1 \leq l \leq n, l \neq \frac{n+1}{2} \rangle_{\mathbb{C}}. \quad (4.23)$$

新たに, アレイ $S_0 = \mathbf{a}(-1, -1) \in V_1 \cap V_2$ と置くことにより, $S'_1 = S_1 - S_0$, $S'_2 = S_2 - S_0$ とする. それらは以下の様に表される:

$$S'_1 = \sum_{\substack{1 \leq k \leq n-2 \\ k \neq (n-1)/2}} \mathbf{a}(\zeta_{n-1}^k, -1) \in V'_1, \quad (4.24)$$

$$S'_2 = \sum_{\substack{1 \leq l \leq n \\ l \neq (n+1)/2}} \mathbf{a}(\zeta_{n+1}^l, \zeta_{n+1}^{n+1-l}) \in V'_2. \quad (4.25)$$

このとき, S_0, S'_1, S'_2 それぞれが, 以下の様な有理化されたアレイとなっている:

$$\begin{array}{ccccccc} \vdots & & & & & & \vdots \\ -1 & 1 & -1 & 1 & -1 & 1 & -1 \\ 1 & -1 & 1 & -1 & 1 & -1 & 1 \\ \cdots & -1 & \cdots & 1 & \cdots & -1 & \cdots & 1 & \cdots & -1 & \cdots & 1 & \cdots & -1 & \cdots \\ 1 & -1 & 1 & -1 & 1 & -1 & 1 \end{array}$$

Fig 15: S_0

$$\begin{array}{cccccccccccc}
0 & 3-n & 0 & 2 & 0 & 2 & \dots & 2 & 0 & 3-n & 0 \\
0 & n-3 & 0 & -2 & 0 & -2 & \dots & -2 & 0 & n-3 & 0 \\
0 & \boxed{3-n} & 0 & 2 & 0 & 2 & \dots & 2 & 0 & 3-n & 0 \\
\cdots & \boxed{n-3} & \boxed{0} & \boxed{-2} & \boxed{0} & \boxed{-2} & \cdots & \boxed{-2} & \boxed{0} & \boxed{n-3} & \cdots \\
0 & 3-n & 0 & 2 & 0 & 2 & \dots & 2 & 0 & 3-n & 0
\end{array}$$

Fig 16: S'_1

$$\begin{array}{cccccccccccc}
-2 & 0 & -2 & 0 & n-1 & 0 & \dots & 0 & -2 & 0 & -2 & 0 \\
0 & -2 & 0 & n-1 & 0 & -2 & \dots & -2 & 0 & -2 & 0 & -2 \\
-2 & \boxed{0} & \boxed{n-1} & \boxed{0} & \boxed{-2} & \boxed{0} & \dots & \boxed{0} & \boxed{-2} & \boxed{0} & \boxed{-2} & \boxed{0} \\
\cdots & \boxed{n-1} & \boxed{0} & \boxed{-2} & \boxed{0} & \boxed{-2} & \cdots & \boxed{-2} & \boxed{0} & \boxed{-2} & \cdots & \boxed{0} & \boxed{n-1} \\
n-1 & 0 & -2 & 0 & -2 & 0 & \dots & 0 & -2 & 0 & n-1 & 0
\end{array}$$

Fig 17: S'_2

また, S'_1, S'_2 から作られる行列のランクを求める為に, 次の補題が有用である:

Lemma 4.2 任意の奇数 $m \geq 3$ に対して, 次の様な $(m+1) \times (m+1)$ 行列 C_m を定義する:

$$C_m = \begin{pmatrix} m-1 & 0 & -2 & \dots & 0 & -2 & 0 \\ 0 & m-1 & 0 & \dots & -2 & 0 & -2 \\ -2 & 0 & m-1 & \dots & 0 & -2 & 0 \\ \vdots & \vdots & \vdots & \ddots & \vdots & \vdots & \vdots \\ 0 & -2 & 0 & \dots & m-1 & 0 & -2 \\ -2 & 0 & -2 & \dots & 0 & m-1 & 0 \\ 0 & -2 & 0 & \dots & -2 & 0 & m-1 \end{pmatrix}. \quad (4.26)$$

この C_m を行基本変形することで, 次の $(m+1) \times (m+1)$ 行列 D_m を得る:

$$D_m = \begin{pmatrix} 1 & 0 & 0 & \cdots & 0 & -1 & 0 \\ 0 & 1 & 0 & \cdots & 0 & 0 & -1 \\ 0 & 0 & 1 & \cdots & 0 & -1 & 0 \\ \vdots & \vdots & \vdots & \ddots & \vdots & \vdots & \vdots \\ 0 & 0 & 0 & \cdots & 1 & 0 & -1 \\ 0 & 0 & 0 & \cdots & 0 & 0 & 0 \\ 0 & 0 & 0 & \cdots & 0 & 0 & 0 \end{pmatrix}. \quad (4.27)$$

特に, このことから, $\text{rank } C_m = m-1$ と定まる.

Proof: 前の章で定めた行基本変形の操作の記号を用いて, この $(m+1) \times (m+1)$ 行列 C_m を, まずは以下の様に変形する:

$$E(m, 1; -1)E(m+1, 2; -1)E(m, 3; -1) \cdots E(m, m-2; -1)E(m+1, m-1; -1)C_m$$

$$= \begin{pmatrix} m+1 & 0 & 0 & \cdots & 0 & -(m+1) & 0 \\ 0 & m+1 & 0 & \cdots & 0 & 0 & -(m+1) \\ 0 & 0 & m+1 & \cdots & 0 & -(m+1) & 0 \\ \vdots & \vdots & \vdots & \ddots & \vdots & \vdots & \vdots \\ 0 & 0 & 0 & \cdots & m+1 & 0 & -(m+1) \\ -2 & 0 & -2 & \cdots & 0 & m-1 & 0 \\ 0 & -2 & 0 & \cdots & -2 & 0 & m-1 \end{pmatrix}. \quad (4.28)$$

この行列を C'_m とするとさらに,

$$E(1; 1/m+1)E(2; 1/m+1)E(3; 1/m+1) \cdots E(m-2; 1/m+1)E(m-1; 1/m+1)C'_m$$

$$= \begin{pmatrix} 1 & 0 & 0 & \cdots & 0 & -1 & 0 \\ 0 & 1 & 0 & \cdots & 0 & 0 & -1 \\ 0 & 0 & 1 & \cdots & 0 & -1 & 0 \\ \vdots & \vdots & \vdots & \ddots & \vdots & \vdots & \vdots \\ 0 & 0 & 0 & \cdots & 1 & 0 & -1 \\ -2 & 0 & -2 & \cdots & 0 & m-1 & 0 \\ 0 & -2 & 0 & \cdots & -2 & 0 & m-1 \end{pmatrix}. \quad (4.29)$$

となる. この行列を再び C_m'' とおくと, さらに変形をすることで以下の式を得る:

$$E(1, m; 2)E(2, m+1; 2)E(3, m; 2) \cdots E(m-2, m; 2)E(m-1, m+1; 2)C_m'' \quad (4.30)$$

$$= D_m.$$

以上により, この補題は証明された.□

S'_1 の x 軸上の値に注目するとき, $n-1$ を周期とすることが分かる. さらに, $((S'_1)_{(i,0)})_{i=0,\dots,n-2}$ は以下の様になる:

$$u^1 = (n-3, 0, -2, 0, -2, \dots, 0, -2, 0). \quad (4.31)$$

この u^1 を右に1つずつ動かしたものを, $u^k = (u^1_{i-k+1})_{i=0,\dots,n-2}$ ($2 \leq k \leq n-1$) とする. また, この u^k ($1 \leq k \leq n-1$) を縦に重ねることで得られる, $(n-1) \times (n-1)$ 行列を C_{n-2} とする. すると, C_{n-2} は以下のように与えられる:

$$C_{n-2} = \begin{pmatrix} n-3 & 0 & -2 & \cdots & 0 & -2 & 0 \\ 0 & n-3 & 0 & \cdots & -2 & 0 & -2 \\ -2 & 0 & n-3 & \cdots & 0 & -2 & 0 \\ \vdots & \vdots & \vdots & \ddots & \vdots & \vdots & \vdots \\ 0 & -2 & 0 & \cdots & n-3 & 0 & -2 \\ -2 & 0 & -2 & \cdots & 0 & n-3 & 0 \\ 0 & -2 & 0 & \cdots & -2 & 0 & n-3 \end{pmatrix}$$

この行列に, 補題 4.2 の $m = n-2$ の場合を用いると, それは次の様に変形できる:

$$D_{n-2} = \begin{pmatrix} 1 & 0 & 0 & \cdots & 0 & -1 & 0 \\ 0 & 1 & 0 & \cdots & 0 & 0 & -1 \\ 0 & 0 & 1 & \cdots & 0 & -1 & 0 \\ \vdots & \vdots & \vdots & \ddots & \vdots & \vdots & \\ 0 & 0 & 0 & \cdots & 1 & 0 & -1 \\ 0 & 0 & 0 & \cdots & 0 & 0 & 0 \\ 0 & 0 & 0 & \cdots & 0 & 0 & 0 \end{pmatrix},$$

よって, この行列のランクが $n-3$ となる.

以上の事から, 整数 k ($1 \leq k \leq n-3$) に対し, D_{n-2} の k 行から作られるアレイ $\mathbf{f}^k \in V_1 - V_1 \cap V_2$ を以下のように定義する:

$$\text{when } k \equiv 1 \pmod{2}: \mathbf{f}_{(i,j)}^k = \begin{cases} (-1)^j, & i \equiv k-1 \pmod{n-1}, \\ (-1)^{j+1}, & i \equiv -2 \pmod{n-1}, \\ 0, & i \not\equiv k-1, -2 \pmod{n-1}. \end{cases} \quad (4.32)$$

$$\text{when } k \equiv 0 \pmod{2}: \mathbf{f}_{(i,j)}^k = \begin{cases} (-1)^j, & i \equiv k-1 \pmod{n-1}, \\ (-1)^{j+1}, & i \equiv -1 \pmod{n-1}, \\ 0, & i \not\equiv k-1, -1 \pmod{n-1}. \end{cases} \quad (4.33)$$

S'_2 についても同様のことを考えるとき, $(n+1) \times (n+1)$ 行列 C_n に補題 4.2 を用いることで, 行列 D_n を得るとともに, そのランクが $n-1$ である. また, $V_2 - V_1 \cap V_2$ に属するすべてのアレイが, 2 重周期 $\{(n+1, 0), (1, 1)\}$ をもつ. 従って, 整数 l ($1 \leq l \leq n-1$) に対して, D_n の l 行から作られるアレイ $\mathbf{h}^l \in V_2 - V_1 \cap V_2$ は, 以下の様に定義される:

$$\text{when } l \equiv 1 \pmod{2}: \mathbf{h}_{(i,j)}^l = \begin{cases} 1, & i-j \equiv l-1 \pmod{n+1}, \\ -1, & i-j \equiv -2 \pmod{n+1}, \\ 0, & i-j \not\equiv l-1, -2 \pmod{n+1}. \end{cases} \quad (4.34)$$

$$\text{when } l \equiv 0 \pmod{2}: \mathbf{h}_{(i,j)}^l = \begin{cases} 1, & i-j \equiv l-1 \pmod{n+1}, \\ -1, & i-j \equiv -1 \pmod{n+1}, \\ 0, & i-j \not\equiv l-1, -1 \pmod{n+1}. \end{cases} \quad (4.35)$$

以上より, $V_1 \cap V_2$, $V_1 - V_1 \cap V_2$, $V_2 - V_1 \cap V_2$ の \mathbb{Q} 基底が得られた:

$$\begin{aligned} V_1 \cap V_2 &= \langle \mathbf{a}(-1, -1) \rangle_{\mathbb{Q}} \otimes \mathbb{C}, \\ V_1 - V_1 \cap V_2 &= \langle \mathbf{f}^k; 1 \leq k \leq n-3 \rangle_{\mathbb{Q}} \otimes \mathbb{C}, \\ V_2 - V_1 \cap V_2 &= \langle \mathbf{h}^l; 1 \leq l \leq n-1 \rangle_{\mathbb{Q}} \otimes \mathbb{C}. \end{aligned}$$

これで 4.1 節, 4.2 節の結果を合わせて定理 4.1 の証明が完成した.

例として、アレイ $\mathbf{f}^1, \mathbf{f}^{n-3}, \mathbf{h}^1, \mathbf{h}^{n-1}$ を挙げると、それは以下の様になる:

$$\begin{array}{cccccccccccc}
 0 & -1 & 0 & 0 & 0 & \dots & 1 & 0 & -1 & 0 & & \\
 0 & 1 & 0 & 0 & 0 & \dots & -1 & 0 & 1 & 0 & & \\
 0 & -1 & 0 & 0 & 0 & \dots & 1 & 0 & -1 & 0 & & \\
 -0 & 1 & 0 & 0 & 0 & \dots & -1 & 0 & 1 & 0 & -0 & \\
 0 & -1 & 0 & 0 & 0 & \dots & 1 & 0 & -1 & 0 & &
 \end{array}$$

Fig 18: \mathbf{f}^1

$$\begin{array}{cccccccccccc}
 1 & 0 & 0 & 0 & 0 & \dots & -1 & 0 & 1 & 0 & 0 & \\
 -1 & 0 & 0 & 0 & 0 & \dots & 1 & 0 & -1 & 0 & 0 & \\
 1 & 0 & 0 & 0 & 0 & \dots & -1 & 0 & 1 & 0 & 0 & \\
 -1 & 0 & 0 & 0 & 0 & \dots & 1 & 0 & -1 & 0 & 0 & \\
 1 & 0 & 0 & 0 & 0 & \dots & -1 & 0 & 1 & 0 & 0 &
 \end{array}$$

Fig 19: \mathbf{f}^{n-3}

$$\begin{array}{cccccccccc}
0 & 0 & -1 & 0 & 1 & \dots & 0 & 0 & 0 & 0 \\
0 & -1 & 0 & 1 & 0 & \dots & 0 & 0 & 0 & -1 \\
-1 & \boxed{0} & 1 & 0 & 0 & \dots & 0 & 0 & -1 & 0 \\
-0 & \boxed{1} & \boxed{0} & \boxed{0} & \boxed{0} & \dots & \boxed{0} & \boxed{-1} & \boxed{0} & \boxed{1} \\
1 & 0 & 0 & 0 & 0 & \dots & -1 & 0 & 1 & 0
\end{array}$$

Fig 20: \mathbf{h}^1

$$\begin{array}{cccccccccc}
0 & 1 & 0 & -1 & 0 & \dots & 0 & 0 & 0 & 1 \\
1 & 0 & -1 & 0 & 0 & \dots & 0 & 0 & 1 & 0 \\
0 & \boxed{-1} & 0 & 0 & 0 & \dots & 0 & 1 & 0 & -1 \\
-1 & \boxed{0} & \boxed{0} & \boxed{0} & \boxed{0} & \dots & \boxed{1} & \boxed{0} & \boxed{-1} & \boxed{0} \\
0 & 0 & 0 & 0 & 0 & \dots & 0 & -1 & 0 & 0
\end{array}$$

Fig 21: \mathbf{h}^{n-1}

以下の節 4.3,4.4 で, $n = 4, 5$ の場合の具体例を挙げる. これは節 4.1,4.2 の一般論の帰結ではあるが, 実はこれらの具体例に見られる著しい特徴こそが, 一般論を生み出す原動力となったのであり, 第 4 章全体の基盤を成す内容である.

4.3 $n = 4$ の場合

$n = 4$ のとき, 特性多項式 $m_{\mathbf{w}_4}$ は

$$m_{\mathbf{w}_4} = 1 + y + x^1 + x^2 + x^3, \quad (4.36)$$

となり, これを計算していくと次の式を得る:

$$(1 + x + x^2)(1 - xy) = 0. \quad (4.37)$$

この式を解くと以下の 6 つの解を得る:

$$\begin{aligned} (x, y) = & (\omega, -1), (\omega^2, -1), \\ & (\zeta_5^1, \zeta_5^4), (\zeta_5^2, \zeta_5^3), (\zeta_5^3, \zeta_5^2), (\zeta_5^4, \zeta_5^1). \end{aligned} \quad (4.38)$$

このとき, $\mathbf{A}_{\mathbf{w}_4}^0 = V_1 \oplus V_2$ を満たす V_1, V_2 は $V_1 = \langle \mathbf{a}(\omega, -1), \mathbf{a}(\omega^2, -1) \rangle_{\mathbb{C}}$, $V_2 = \langle \mathbf{a}(\zeta_5^i, \zeta_5^{5-i}); 1 \leq i \leq 4 \rangle_{\mathbb{C}}$ を得る. また, n が偶数から $V_1 \cap V_2 = \{0\}$ となるので, $\dim_{\mathbb{C}} \mathbf{A}_{\mathbf{w}_4}^0 = \sharp(V_{\mathbb{T}^2}(m_{\mathbf{w}_4})) = 6$ と定まる.

例として, アレイ $\mathbf{a}(\omega, -1), \mathbf{a}(\zeta_5^1, \zeta_5^4)$ を挙げると, 以下の様になる:

$$\begin{array}{cccccc} \omega & 1 & \omega^2 & \omega & 1 & \omega^2 & \omega \\ -\omega & -1 & -\omega^2 & -\omega & -1 & -\omega^2 & -\omega \\ \cdots & \cdots & \cdots & \cdots & \cdots & \cdots & \cdots \\ \omega & 1 & \omega^2 & \omega & 1 & \omega^2 & \omega \\ -\omega & -1 & -\omega^2 & -\omega & -1 & -\omega^2 & -\omega \end{array}$$

Fig 22: $\mathbf{a}(\omega, -1)$

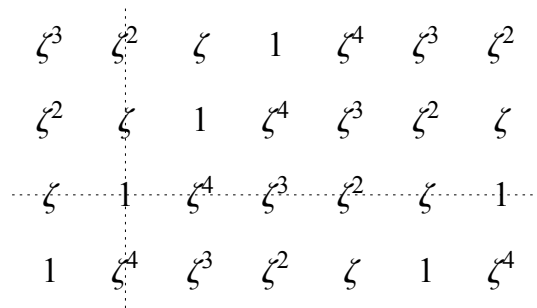


Fig 23: $\mathbf{a}(\zeta_5^1, \zeta_5^4)$

このとき, アレイ $S_1 = \mathbf{a}(\omega, -1) + \mathbf{a}(\omega^2, -1) \in V_1$ は次の様に表せる:

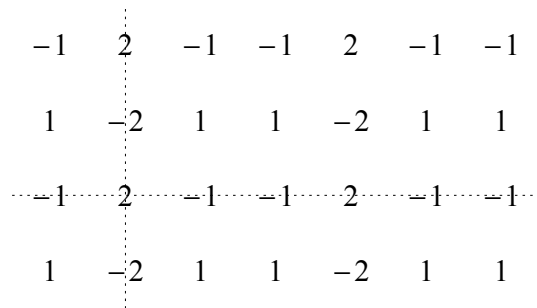


Fig 24: S_1

同様に, アレイ $S_2 = \mathbf{a}(\zeta_5^1, \zeta_5^4) + \mathbf{a}(\zeta_5^2, \zeta_5^3) + \mathbf{a}(\zeta_5^3, \zeta_5^2) + \mathbf{a}(\zeta_5^4, \zeta_5^1) \in V_2$ も表すと, 以下の様になる:

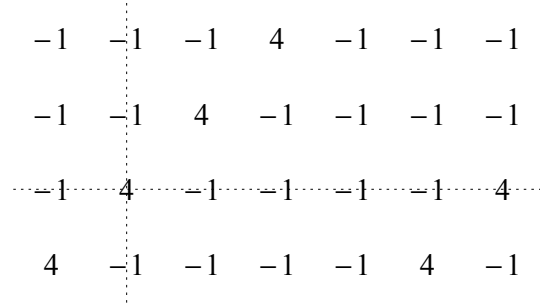


Fig 25: S_2

このことから, S_1 の x 軸上に 1 周期が 3 の並びが見えることから, 行列 M_1 は

$$M_1 = \begin{pmatrix} 2 & -1 & -1 \\ -1 & 2 & -1 \\ -1 & -1 & 2 \end{pmatrix},$$

となり, 補題 4.1 より, M_1 は以下の行列に変形をすることができる:

$$M'_1 = \begin{pmatrix} 1 & 0 & -1 \\ 0 & 1 & -1 \\ 0 & 0 & 0 \end{pmatrix}.$$

よって, M_1 のランクが 2 と定まり, かつ, M'_1 の 1 行目と 2 行目のそれぞれから作られるアレイは以下の様になる:

$$\begin{array}{ccccccc}
 -1 & 1 & 0 & -1 & 1 & 0 & -1 \\
 1 & -1 & 0 & 1 & -1 & 0 & 1 \\
 \cdots & \cdots & \cdots & \cdots & \cdots & \cdots & \cdots \\
 -1 & 1 & 0 & -1 & 1 & 0 & -1 \\
 \cdots & \cdots & \cdots & \cdots & \cdots & \cdots & \cdots \\
 1 & -1 & 0 & 1 & -1 & 0 & 1
 \end{array}$$

Fig 26: M' の 1 行目から作られるアレイ

$$\begin{array}{ccccccc}
 -1 & 0 & 1 & -1 & 0 & 1 & -1 \\
 1 & 0 & -1 & 1 & 0 & -1 & 1 \\
 \cdots & \cdots & \cdots & \cdots & \cdots & \cdots & \cdots \\
 -1 & 0 & 1 & -1 & 0 & 1 & -1 \\
 \cdots & \cdots & \cdots & \cdots & \cdots & \cdots & \cdots \\
 1 & 0 & -1 & 1 & 0 & -1 & 1
 \end{array}$$

Fig 27: M' の 2 行目から作られるアレイ

同様に S_2 の x 軸上の値の並びから行列を作り, その行列に補題 4.1 を用いることで以下の行列を得る:

$$M_2 = \begin{pmatrix} 1 & 0 & 0 & 0 & -1 \\ 0 & 1 & 0 & 0 & -1 \\ 0 & 0 & 1 & 0 & -1 \\ 0 & 0 & 0 & 1 & -1 \\ 0 & 0 & 0 & 0 & 0 \end{pmatrix}.$$

よって, M_2 のランクが 4 と定まるとともに, 有理数で表された零和アレイを得ることができた. 以上の事から, 6 つのアレイの \mathbb{Q} 基底を得ることができた.

4.4 $n = 5$ の場合

$n = 5$ のとき, 特性多項式 $m_{\mathbf{w}_5}$ は

$$m_{\mathbf{w}_5} = 1 + y + x^1 + x^2 + x^3 + x^4, \quad (4.39)$$

となり, 計算を進めることにより, 次の式を得る:

$$(1 + x + x^2 + x^3)(1 - xy) = 0. \quad (4.40)$$

さらにこの式を解くと, 以下の7つの解を得る:

$$(x, y) = (-1, -1), (i, -1), (-i, -1) \\ (\zeta_6^1, \zeta_6^5), (\zeta_6^2, \zeta_6^4), (\zeta_6^3, \zeta_6^3), (\zeta_6^4, \zeta_6^2), (\zeta_6^5, \zeta_6^1), \quad (4.41)$$

このとき, 重解として $(\zeta_6^3, \zeta_6^3) = (-1, -1)$ をもつ. よって, $\mathbf{A}_{\mathbf{w}_5}^0 = V_1 + V_2$ を満たす V_1, V_2 は $V_1 = \langle \mathbf{a}(i^k, -1); 1 \leq k \leq 3 \rangle_{\mathbb{C}}$, $V_2 = \langle \mathbf{a}(\zeta_6^l, \zeta_6^{6-l}); 1 \leq l \leq 5 \rangle_{\mathbb{C}}$, $V_1 \cap V_2 = \langle \mathbf{a}(-1, -1) \rangle_{\mathbb{C}}$ となる. 従って, $\dim_{\mathbb{C}} \mathbf{A}_{\mathbf{w}_5}^0 = \#(V_{\mathbb{T}^2}(m_{\mathbf{w}_5})) = 7$ となる.

以上の事から, 部分空間 V'_1, V'_2 は以下の様になる:

$$V'_1 = \langle \mathbf{a}(i, -1), \mathbf{a}(-i, -1) \rangle_{\mathbb{C}}, \quad (4.42)$$

$$V'_2 = \langle \mathbf{a}(\zeta_6^n, \zeta_6^{6-n}); 1 \leq n \leq 5, n \neq 3 \rangle_{\mathbb{C}}. \quad (4.43)$$

また, アレイ $\mathbf{a}(-1, -1)$ は

$$\begin{array}{cccccc} -1 & 1 & -1 & 1 & -1 & 1 & -1 \\ 1 & -1 & 1 & -1 & 1 & -1 & 1 \\ \cdots -1 & \cdots 1 & \cdots -1 & \cdots 1 & \cdots -1 & \cdots 1 & \cdots -1 \\ 1 & -1 & 1 & -1 & 1 & -1 & 1 \end{array}$$

Fig 28: $\mathbf{a}(-1, -1)$

と表せ, これを $S_0 = \mathbf{a}(-1, -1) \in V_1 \cap V_2$ と置くことで, S'_1, S'_2 は

$$\begin{aligned} S'_1 &= S_1 - S_0 \\ &= \mathbf{a}(i, -1) + \mathbf{a}(-i, -1) \in V'_1, \end{aligned} \quad (4.44)$$

$$\begin{aligned} S'_2 &= S_2 - S_0 \\ &= \mathbf{a}(\zeta_6^1, \zeta_6^5) + \mathbf{a}(\zeta_6^2, \zeta_6^4) + \mathbf{a}(\zeta_6^4, \zeta_6^2) + \mathbf{a}(\zeta_6^5, \zeta_6^1) \in V'_2. \end{aligned} \quad (4.45)$$

となり, そのアレイは以下の様になる:

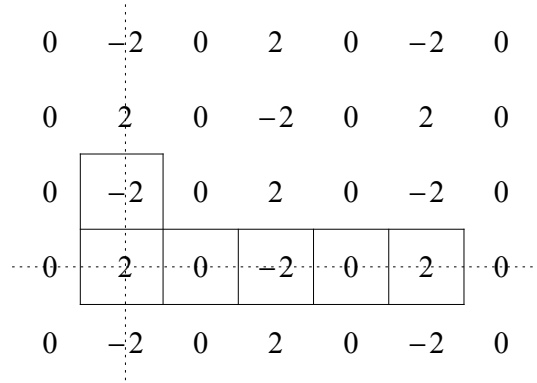


Fig 29: S'_1

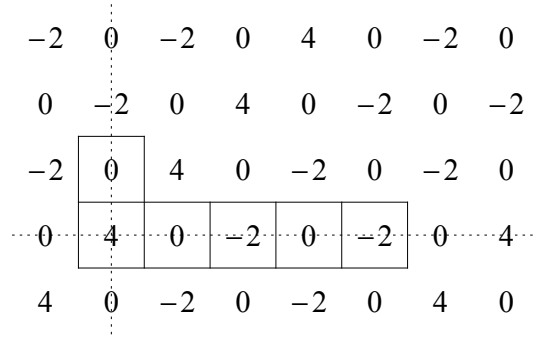


Fig 30: S'_2

よって, この S'_1 の x 軸上の周期に注目し, 行列 M_1 を考えるとそれは,

$$M_1 = \begin{pmatrix} 2 & 0 & -2 & 0 \\ 0 & 2 & 0 & -2 \\ -2 & 0 & 2 & 0 \\ 0 & -2 & 0 & 2 \end{pmatrix},$$

となる. これに補題 4.2 を用いると M_1 は以下の様に変形できる:

$$\begin{pmatrix} 1 & 0 & -1 & 0 \\ 0 & 1 & 0 & -1 \\ 0 & 0 & 0 & 0 \\ 0 & 0 & 0 & 0 \end{pmatrix}.$$

以上の事から, M_1 のランクが 2 と定まった. また同様のことを S'_2 の x 軸上の周期から考え, 補題 4.2 を用いると以下の行列を得る:

$$\begin{pmatrix} 1 & 0 & 0 & 0 & -1 & 0 \\ 0 & 1 & 0 & 0 & 0 & -1 \\ 0 & 0 & 1 & 0 & -1 & 0 \\ 0 & 0 & 0 & 1 & 0 & -1 \\ 0 & 0 & 0 & 0 & 0 & 0 \\ 0 & 0 & 0 & 0 & 0 & 0 \end{pmatrix}.$$

このことから, M_2 のランクが 4 と定まった.

以上より, $\mathbf{A}_{\mathbf{w}_5}^0$ の 7 つの \mathbb{Q} 基底を得ることができ, それは, $\mathbf{A}_{\mathbf{w}_5}^0$ の \mathbb{Q} 基底が 2 つ, V'_2 の \mathbb{Q} 基底が 4 つ, そして $V_1 \cap V_2$ の 1 つの \mathbb{Q} 基底となっている.

References

- [1] G. Gündüz, U. Gündüz, The mathematical analysis of the structure of some songs, *Physica A*, **357**(2005), 565-592.
- [2] F.Hazama, Discrete tomography and the Hodge conjecture for certain abelian varieties of CM-type, *Proc. Japan Acad. Ser. A, Math. Sci.*, 82(2006), no. 3, 25-29.
- [3] F.Hazama, Discrete tomography and Hodge cycles, *Tohoku Math. J.*, 59(2007), 423-440.
- [4] F.Hazama, Discrete Tomography through Distribution Theory, *Publ. RIMS, Kyoto Univ.*, 44(2008), 1069-1095.
- [5] G. T. Herman, A. Kuba (Eds), *Discrete Tomography: Foundations, Algorithms, and Applications*, Birkhäuser, Boston-Basel-Berlin, 2007.
- [6] M. Nivat, Sous-ensembles homogenes de \mathbf{Z}^2 et pavage du plan, *C. R. Math. Acad. Sci. Paris* **335** (2002), 83-86.
- [7] M. Nivat, On a tomographic equivalence between $(0, 1)$ -matrices, in *Theory is Forever*, 216-234, *Lecture Notes in Comput. Sci.* **3113**, Springer, Berlin, 2004.
- [8] T.Yashiro, Discrete tomography for the point sequence generated by the adjacent terms of a sequence, *JP Journal of Algebra, Number Theory and Applications*, 40(2018), no.4, 461-494.
- [9] T.Yashiro and A.Minami, Discrete tomography for L-shaped window, *Advances and Applications in Discrete Mathematics*, (2018), (to appear).